

Вероятностные свойства избыточных систем счисления

Н. В. ДУРОВ¹

¹ Санкт-Петербургское отделение Математического института им. В. А. Стеклова Российской Академии Наук

email: douroff@pdm.i.ras.ru

Аннотация. Данная работа посвящена изучению некоторых вероятностных свойств эффективных систем счисления, примеры которых были построены ранее в [AB4]. В частности, рассматривается вопрос об естественном распределении вероятностей на цифрах таких систем, и о подсчёте количества различных n -значных чисел в таких системах. Оказывается, что конечный автомат, проверяющий равенство в эффективной системе счисления, может быть естественным образом преобразован в некоторую цепь Маркова, свойства которой тесно связаны с упомянутыми выше вопросами. Мы изучаем спектральный радиус и спектр матрицы переходов этой цепи Маркова, и даём полный ответ для некоторого интересного класса эффективных систем счислений. При этом возникает интересный новый класс многочленов, похожих на многочлены Эрмита или на многочлены Кравчука.

Ключевые слова: Абсолютная геометрия, эффективная система счисления, цепь Маркова, матрица переходов цепи Маркова, многочлены Эрмита, многочлены Кравчука.

ПРЕПРИНТЫ ПОМИ РАН

ГЛАВНЫЙ РЕДАКТОР

С. В. Кисляков

РЕДКОЛЛЕГИЯ

В. М. Бабич, Н. А. Вавилов, А. М. Вершик, М. А. Всемиров,
А. И. Генералов, И. А. Ибрагимов, Л. Ю. Колотилина,
Ю. В. Матиясевич, Н. Ю. Нецветаев, С. И. Репин, Г. А. Серегин

Учредитель: Федеральное государственное бюджетное учреждение науки
Санкт-Петербургское отделение Математического института
им. В. А. Стеклова Российской академии наук

Свидетельство о регистрации средства массовой информации:
ЭЛ № ФС 77-33560 от 16 октября 2008 г.
Выдано Федеральной службой по надзору
в сфере связи и массовых коммуникаций

Контактные данные:

191023, г. Санкт-Петербург, наб. реки Фонтанки, дом 27

телефоны: (812) 312-40-58; (812) 571-57-54

e-mail: admin@pdmi.ras.ru

<http://www.pdmi.ras.ru/preprint/>

Заведующая информационно-издательским сектором В. Н. СИМОНОВА

5 Вероятностные свойства избыточных систем счисления

5.1 Информационный парадокс

Прежде, чем двигаться дальше, попробуем ответить на вопрос: сколько информации содержится в одной цифре числа, записанного в избыточной двоичной системе с цифрами $D \in \{-1, 0, 1\}$ из [AB4],4.1?

5.1.1. (Каждая цифра уменьшает диапазон значений вдвое, и потому содержит один бит информации.) Пусть некто сообщает неизвестное нам число $\xi \in I := [-1, 1]$ по цифрам его избыточной двоичной записи $\xi = (0.x_0x_1\dots)_2$. Будем считать, что изначально нам ничего не известно о ξ , так что естественно предполагать его равномерно распределённым на этом отрезке. Далее, после того, как мы узнаём первую цифру x_0 , множество возможных значений ξ уменьшается до одного из отрезков вдвое меньшей длины $I_l := [-1, 0]$, $I_m := [-1/2, 1/2]$ или $I_r := [0, 1]$, которые мы будем называть «левым», «средним» и «правым подотрезком», соответственно. Таким образом, цифра $x_0 \in D$ осуществляет выбор одного из этих трёх отрезков. После этого цифра $x_1 \in D$ снова уменьшает выбранный отрезок вдвое, заменяя его на его левый, средний или правый подотрезок, и т.д.

Поскольку очередная сообщаемая нам цифра уменьшает пространство возможных значений ξ ровно вдвое (т.е. мера Лебега множества возможных значений уменьшается ровно в два раза), это означает, что она даёт нам ровно один бит информации о вещественном числе ξ .

5.1.2. (Парадокс: каждая цифра выбирается из трёх вариантов, и потому несёт $\log_2 3$ битов информации.) С другой стороны, каждая сообщаемая нам цифра выбирается из трёхэлементного множества D , и потому её указание требует $\log_2 3$ битов информации. Иначе говоря, мы должны считать, что каждая цифра несёт $\log_2 3 \approx 1.853 > 1$ битов информации, что противоречит предыдущему пункту.

5.1.3. (Другой вариант парадокса с неравновероятным выбором цифр.) Мы видели в [AB4],4.1.32, что естественное распределение вероятностей на наборе цифр D — это вовсе не равномерное распределение, а $P(0) = 1/2$, $P(1) = P(\bar{1}) = 1/4$. Например, если отправитель получил отправляемую нам избыточную двоичную запись числа ξ в результате

каких-либо арифметических действий, скажем, суммирования большого количества слагаемых, то рассуждения из [АВ4], **4.1.32** показывают, что частоты цифр будут примерно такими.

Таким образом, нам естественно ожидать именно такое распределение частот или вероятностей символов, принимаемых нами по каналу. Это означает, что один символ несёт не $\log_2 3$ битов информации, как это было бы в случае равномерного распределения, а энтропию указанного выше распределения

$$H(P) = \sum_{x \in D} -P(x) \log_2 P(x) = \frac{1}{2} \cdot 1 + \frac{1}{4} \cdot 2 + \frac{1}{4} \cdot 2 = \frac{3}{2} \quad (5.1.3.1)$$

т.е. полтора бита информации на цифру. Это все равно больше единицы из **5.1.1**.

5.1.4. (Частичное решение парадокса: неравенство обработки данных.) Конечно же, парадокс возникает из-за того, что мы смешиваем два понятия: вещественное число $\xi \in [-1, 1]$ и его конкретную запись $\mathbf{x} = x_0x_1x_2 \dots \in D^\omega$. Эти две величины связаны отображением $w(\mathbf{x}) = \xi$, однако w сюръективно, но не биективно, потому что система счисления избыточна. Поэтому конкретная запись числа действительно содержит больше информации, чем само число. Однако после получения вещественного числа ξ мы можем «забыть» его конкретную запись и работать «с самим числом» (для чего мы можем преобразовать полученную запись в какую-нибудь другую, например, в избыточную шестнадцатеричную систему с цифрами $-8 \dots 8$, что существенно снизит избыточность). В этот момент мы заменяем ξ на значение некоторой функции $w(\xi)$, а известно, что при таком переходе количество информации (энтропия случайной величины) не увеличивается (это частный случай неравенства обработки данных – data processing inequality). Иначе говоря, применение w неизбежно теряет часть информации, и именно это мы и наблюдаем.

5.1.5. (Избыточная двоичная система счисления не соответствует мере Лебега на отрезке $[-1, 1]$, а соответствует мере с плотностью $1 - |x|$.) Для формального применения неравенства обработки данных нам было бы полезно знать, что $w(\mathbf{x})$ равномерно распределено на отрезке $[-1, 1]$, в ситуации, когда цифры $\mathbf{x} = x_0x_1x_2 \dots \in D^\omega$ распределены независимо, например, с вероятностями $P(0) = 1/2$, $P(1) = P(\bar{1}) = 1/4$ как выше. Иначе говоря, мы бы хотели, чтобы прямой образ относительно

$w : D^\omega \rightarrow [-1, 1]$ меры-прямого произведения на D^ω равнялся бы мере Лебега на $[-1, 1]$. Однако в действительности аналогичное утверждение верно только для обычной (не избыточной) двоичной системы, а для избыточной двоичной системы образ меры оказывается равен не мере Лебега на $[-1, 1]$, а мере $(1 - |x|)dx$ с «треугольной» плотностью. Для того, чтобы понять это, можно записать случайную цифру $x_i \in \{-1, 0, 1\}$ в виде $x_i = (\varepsilon_i^{(1)} + \varepsilon_i^{(2)})/2$, где $\varepsilon_i^{(1)}$ и $\varepsilon_i^{(2)}$ — независимые случайные величины, принимающие значения ± 1 с вероятностью $1/2$. Тогда

$$w(x) = \sum_{i=0}^{\infty} x_i 2^{-i-1} = \frac{1}{2} \left(\sum_{i=0}^{\infty} \varepsilon_i^{(1)} 2^{-i-1} + \sum_{i=0}^{\infty} \varepsilon_i^{(2)} 2^{-i-1} \right)$$

оказывается полусуммой двух независимых случайных величин, равномерно распределённых на $[-1, 1]$, а значит, плотность распределения случайной величины $w(x)$ равна свёртке $\chi_{[-1/2, 1/2]} * \chi_{[-1/2, 1/2]}$, где $\chi_A(x) = [x \in A]$ обозначает характеристическую функцию множества $A \in \mathbb{R}$. Эта свёртка и есть $(1 - |x|)dx$ на отрезке $[-1, 1]$.

5.1.6. (Образ меры относительно $w : D^\omega \rightarrow [-1, 1]$ для других вероятностей цифр.) Мы можем задаться вопросом, каков будет образ меры-произведения на D^ω относительно w для других распределений вероятностей цифр из D . В общем случае ответ получается следующий:

- Если $P(0) \neq 1/2$, т.е. если чётные и нечётные цифры не равновероятны, то мера концентрируется возле чисел, в обычной двоичной записи которых нули преобладают над единицами или наоборот, и в итоге получается мера, не обладающая плотностью относительно меры Лебега.
- Если $P(0) = 1/2$, $P(1) = \alpha/2$, $P(\bar{1}) = \beta/2$, $0 \leq \alpha \leq 1$, $\beta = 1 - \alpha$, то получается мера с плотностью $f_\alpha(t)$, которую можно найти из функционального уравнения

$$f_\alpha(t) = f_\alpha(2t) + \alpha f_\alpha(2t - 1) + (1 - \alpha) f_\alpha(2t + 1) \quad \forall t \in \mathbb{R} \quad (5.1.6.1)$$

с дополнительным условием $f_\alpha(t) = 0$ при $t \notin [-1, 1]$, выражающими требование, чтобы случайная величина ξ с такой плотностью распределения и $(\xi + \eta)/2$, где η — независимая от ξ случайная цифра из D с заданным распределением вероятностей, имели бы одинаковое распределение.

5.2 Количество n -значных чисел

Информационный парадокс из предыдущего пункта допускает следующую чисто комбинаторную переформулировку: «Сколько существует n -значных чисел в избыточной двоичной системе?» Отнесёмся к этому вопросу как можно более серьёзно, поскольку попытки найти удовлетворительный ответ на него приводят к довольно глубоким и неожиданным результатам.

5.2.1. (Количество n -значных чисел в избыточной двоичной системе.)
Итак, сколько же существует n -значных двоичных чисел

$$x = (x_0x_1 \dots x_{n-1})_2 = \sum_{i=0}^{n-1} x_i 2^{n-1-i} \quad \text{где } x_i \in \{-1, 0, 1\} \quad (5.2.1.1)$$

в избыточной двоичной системе? Ясно, что есть два разных ответа:

- Это слова $x_0x_1 \dots x_{n-1}$ длины n в трёхсимвольном алфавите $D = \{-1, 0, 1\}$, а значит, их 3^n штук. Более изощрённый вариант подсчёта — $2^{3n/2} \approx 2.82^n$ штук, если не считать цифры из D равновероятными, см. **5.1.3**.
- Поскольку $\{x = \sum_{i=0}^{n-1} x_i 2^{n-1-i} : x_i \in D\}$ — это в точности множество всех целых чисел от $1 - 2^n$ до $2^n - 1$, их $2^{n+1} - 1$ штука.

5.2.2. (Отношение эквивалентности \equiv на D^n .) Ясно, что $2^{n+1} - 1 < 3^n$ при $n \geq 2$, и что разница возникает из-за того, что числа соответствуют не словам из D^n , а классам эквивалентности слов относительно некоторого отношения эквивалентности \equiv , которое мы описали достаточно явно в [AB4], **4.2.5**. Можем ли мы воспользоваться тем, что \equiv допускает эффективное описание с помощью конечного автомата из [AB4], **4.4**, чтобы вычислить интересующее нас количество классов эквивалентности чисто комбинаторным способом, не зная, что это в действительности избыточные двоичные записи целых чисел?

5.2.3. (Нам нужно только \equiv , а про \oplus и \ominus пока можно забыть.) Отметим, что для наших нынешних целей нам нужен только конечный автомат, задающий отношение эквивалентности \equiv , например, на конечных словах D^n , а про конечные автоматы, задающие \oplus и \ominus , мы можем забыть. В каком-то смысле забывание сложения соответствует сужению скаляров с \mathbb{Q} до \mathbb{F}_1 — или скорее до $\mathbb{F}_1[t, t^{-1}]$, поскольку у нас остаётся операция

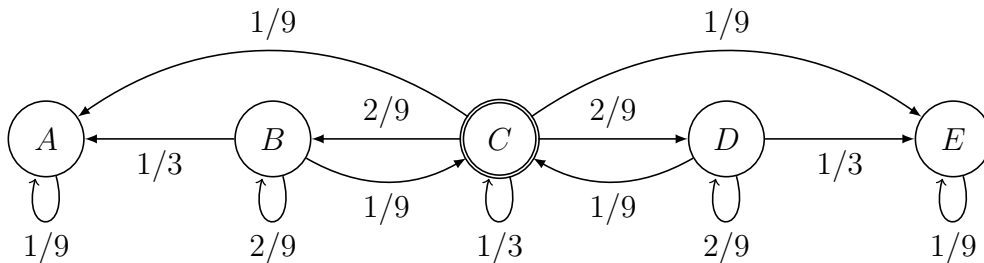
5.2.6. (Поведение приближенной формулы при $n \rightarrow +\infty$.) При $n \rightarrow +\infty$ значение центрального элемента матрицы A^n ведёт себя приблизительно как $c\lambda^n$, где $\lambda = (5 + \sqrt{17})/2 \approx 4.56$ — наибольшее по модулю собственное число матрицы A , а $c = (1 + 1/\sqrt{17})/2 \approx 0.621$ — произведение подходящих элементов матрицы собственных векторов матрицы A и обратной к ней. Поэтому приведённый выше метод даёт в качестве количества n -значных чисел приблизительно $c^{-1}(9/\lambda)^n \approx 1.61 \cdot 1.973^n$. Это уже гораздо ближе к правильному ответу $2^{n+1} - 1$, но ещё не совсем он.

5.2.7. (Вероятностная интерпретация предыдущего вычисления.) Заметим, что в качестве приближенного значения количества n -значных чисел у нас получилось число, обратное к центральному элементу матрицы $(A/9)^n$:

$$\frac{A}{9} = \begin{pmatrix} 1/9 & & & & \\ 1/3 & 2/9 & 1/9 & & \\ 1/9 & 2/9 & 1/3 & 2/9 & 1/9 \\ & & 1/9 & 2/9 & 1/3 \\ & & & & 1/9 \end{pmatrix} \quad (5.2.7.1)$$

Эта матрица допускает следующую вероятностную интерпретацию. Пусть x и y — два случайных слова длины n , все символы которых независимо друг от друга принимают все три возможных значения из $D = \{-1, 0, 1\}$ с одинаковой вероятностью $1/3$. С какой вероятностью $x \equiv y$?

Будем проверять, верно ли, что $x \equiv y$, последовательно применяя переходы с метками (x_i, y_i) в нашем конечном автомате G . Ясно, что очередной переход выбирается случайно и независимо от предыдущего, причём вероятность каждой пары xy одинакова и равна $1/9$. В итоге конечный автомат [AB4], 4.4.3 становится цепью Маркова со следующими вероятностями переходов:

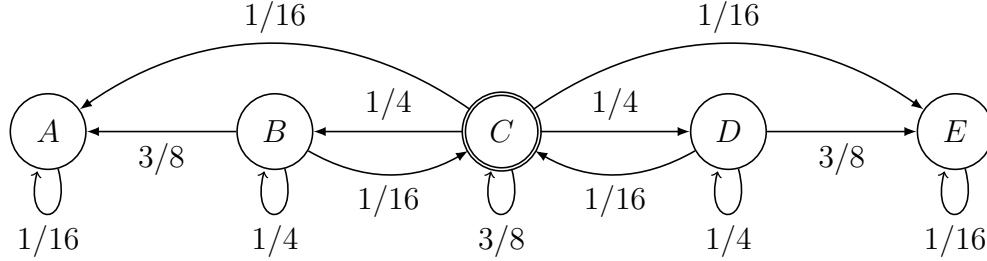


Матрица $A/9$ из (5.2.7.1) — это матрица переходов этой цепи Маркова. Центральный элемент матрицы $(A/9)^n$ — это вероятность p того, что эта цепь Маркова, начав работу с состояния C , окажется снова в состоянии C через n шагов. Иначе говоря, p — это вероятность того, что два случайно выбранных слова длины n эквивалентны, т.е. того, что два n -значных числа равны. Поэтому $1/p$ — оценка количества различных n -значных чисел.

5.2.8. (Это не совсем цепь Маркова.) Здесь есть небольшая тонкость, связанная с тем, что сумма вероятностей переходов из каждого состояния нашей «цепи Маркова» в действительности не всегда равна единице, а может быть меньше, из-за того, что часть переходов запрещена. Мы могли бы изготовить настоящую цепь Маркова, добавив специальное «ошибочное состояние» и сделав так, чтобы все запрещённые переходы вели в него. Однако в этом нет особого смысла, кроме того, что таким образом становится выполнено формальное определение цепи Маркова. Например, вероятность перехода из состояния C в себя за n шагов не изменяется. Зато матрица переходов $A/9$ приобретает лишнюю строку и столбец и становится менее красивой.

Отметим, что именно отсутствие части переходов (или, если угодно, неэргодичность нашей цепи Маркова) и делает ответ в нашей задаче нетривиальным. Иначе наибольшим собственным значением матрицы переходов была бы единица, и мы получали бы ответы порядка $O(1)$ при всех n .

5.2.9. (Оценка с помощью естественного распределения вероятностей цифр.) Заметим, что предыдущее вероятностное рассуждение с независимым выбором цифр x и y и вычислением вероятности того, что $x \equiv y$, с помощью цепи Маркова, работает и в том случае, если цифры не равновероятны, а, например, выбираются согласно более естественному распределению $P(0) = 1/2$, $P(1) = P(\bar{1}) = 1/4$ из [AB4], 4.1.32. В этом случае получаем другую цепь Маркова



с матрицей переходов

$$P = \begin{pmatrix} 1/16 & & & & \\ 3/8 & 1/4 & 1/16 & & \\ 1/16 & 1/4 & 3/8 & 1/4 & 1/16 \\ & & 1/16 & 1/4 & 3/8 \\ & & & & 1/16 \end{pmatrix} = \frac{1}{16} \begin{pmatrix} 1 & & & & \\ 6 & 4 & 1 & & \\ 1 & 4 & 6 & 4 & 1 \\ & & 1 & 4 & 6 \\ & & & & 1 \end{pmatrix} \quad (5.2.9.1)$$

Собственные числа этой матрицы (неслучайно) равны $1/2, 1/4, 1/8, 1/16$ и $1/16$, и в итоге вероятность p того, что $x \equiv y$ для слов длины n , оказывается равна $(2/3) \cdot 2^{-n} + O(4^{-n})$, а оценка на количество n -значных чисел — $1.5 \cdot 2^n + O(1)$, что уже отличается от правильного ответа $2^{n+1} - 1$ только постоянным множителем.

5.2.10. (Вероятностный метод всегда даёт оценку снизу.) Отметим, что применяемый нами вероятностный метод всегда даёт оценку снизу на число классов эквивалентности. В самом деле, пусть существует N классов эквивалентности слов длины n , и пусть вероятность того, что случайно выбранное число (с заданным распределением вероятностей цифр) попадает в i -ый класс эквивалентности, равно p_i . Таким образом, $\sum_{i=1}^N p_i = 1$, и при этом вероятность того, что два случайно выбранных слова эквивалентны, равна $p = \sum_{i=1}^N p_i^2$. Отсюда по неравенству о среднем арифметическом и среднем квадратическом получаем $p/N \geq (1/N)^2$, т.е. $p \geq 1/N$ и $N \geq p^{-1}$.

5.2.11. (Другие распределения вероятностей цифр не помогают улучшить оценку.) Мы можем рассмотреть другие распределения вероятностей цифр, и посмотреть, какие оценки на количество n -значных чисел будут получаться. Систематический способ это сделать — рассмотреть все такие распределения $P = (p_{-1}, p_0, p_1)$, где $p_{-1}, p_0, p_1 \geq 0, p_{-1} + p_0 + p_1 =$

1, построить для каждого из них соответствующую цепь Маркова с матрицей переходов

$$T(P) := \begin{pmatrix} c & & & & \\ a & b & c & & \\ c & b & a & b & c \\ & & c & b & a \\ & & & & c \end{pmatrix} \quad (5.2.11.1)$$

где $a = p_0^2 + p_1^2 + p_{-1}^2$, $b = p_0(p_1 + p_{-1})$, $c = p_1 p_{-1}$, и затем найти те из них, что минимизируют спектральный радиус $\lambda = \rho(T(P))$ (наибольшее по модулю собственное число, которое обязательно будет положительным), поскольку в конечном итоге мы получим оценку снизу вида $c^{-1} \lambda^{-n}$ на количество n -значных чисел, а значит, надо, чтобы λ было минимальным. В нашем случае минимальный спектральный радиус оказывается $1/2$, однако достигается он не в одной точке, а на отрезке $\{p_0 = 1/2, p_{-1} = 1/2 - p_1\}$. Для каждой из точек этого отрезка мы можем вычислить коэффициент $c = c(P)$, который получается произведением подходящих элементов матрицы собственных векторов $T(P)$ и обратной к ней. В нашем случае оказывается, что $c(P) = 1/(1 + 4p_1 - 8p_1^2)$ при $p_0 = 1/2$, $p_{-1} = 1/2 - p_1$, что даёт оценку снизу вида $(1 + 4p_1 - 8p_1^2) \cdot 2^n$ на количество n -значных чисел. Естественно попробовать минимизировать $c(P)$ на этом отрезке, т.е. максимизировать $1 + 4p_1 - 8p_1^2$ при $0 \leq p_1 \leq 1/2$. В данном случае максимум достигается в середине отрезка при $p_1 = 1/4$, что соответствует нашему «естественному распределению» $P(0) = 1/2$, $P(1) = P(\bar{1}) = 1/4$, т.е. соответствующая оценка $1.5 \cdot 2^n$ в действительности является наилучшей (при $n \rightarrow +\infty$) среди всех оценок вида $c^{-1} \cdot \lambda^{-n}$. Иначе говоря, оценку, полученную в 5.2.9 с помощью естественного распределения, уже не получается улучшить тем же методом.

5.2.12. (Естественное распределение вероятностей цифр полностью определяется конечным автоматом.) Отметим, что естественное распределение вероятностей цифр из D , ранее полученное в [AB4], 4.1.32 из других соображений, оказалось полностью определено чисто комбинаторной структурой конечного автомата G , проверяющего конечные или бесконечные слова на эквивалентность, поскольку оно получается последовательной минимизацией сначала спектрального радиуса матрицы переходов $T(P)$ на (компактном) симплексе вероятностных мер на D , а затем минимизацией коэффициента $c(P)$. В этом смысле естественное распре-

деление вероятностей цифр действительно естественно.

5.2.13. (Предельное распределение вероятностей состояний конечного автомата.) Отметим, что комбинаторная структура конечного автомата проверки эквивалентности слов определяет не только естественное распределение вероятностей цифр, но и предельное распределение вероятностей на состояниях самого конечного автомата. Это предельное распределение вероятностей на состояниях марковской цепи **5.2.9** (после большого числа шагов, при условии, что работа автомата не завершилась ранее), оно задаётся собственным ковектором матрицы переходов P из (5.2.9.1), соответствующим максимальному собственному числу $\lambda = 1/2$:

$$\begin{pmatrix} 1 & 1 & 1 & 1 & 1 \end{pmatrix} P = \frac{1}{2} \begin{pmatrix} 1 & 1 & 1 & 1 & 1 \end{pmatrix} \quad (5.2.13.1)$$

Иначе говоря, в пределе все состояния автомата равновероятны: $P(A) = P(B) = P(C) = P(D) = P(E) = 1/5$.

5.2.14. (Предельное распределение вероятностей состояний для «развёрнутого» автомата.) Интересно, что при использовании автомата в обратную сторону — то есть для проверки равенства 2-адических чисел — матрица переходов P заменяется на транспонированную P^T , и предельное распределение вероятностей состояний конечного автомата оказывается совершенно другим: $P(A) = P(E) = 0$, $P(B) = P(D) = 1/6$, $P(C) = 2/3$. Поэтому в общем случае не стоит ожидать, что все состояния конечного автомата проверки эквивалентности в пределе равновероятны.

5.2.15. (Пути улучшения оценки количества n -значных чисел.) Вернёмся к проблеме подсчёта количества n -значных чисел. Как можно улучшить оценку $1.5 \cdot 2^n$? Можно предположить, что наша оценка занижена из-за того, что слишком много слов длины n , пусть даже с естественным распределением частот цифр, оказались «нетипичны», и в их классах эквивалентности слишком много или слишком мало элементов. Нетипичность, скорее всего, связана с большим количеством «экстремальных» цифр 1 и $\bar{1}$, поскольку именно при сравнении чисел с большим количеством таких цифр автомат оказывается в крайних состояниях вроде A и E , в которых нарушается эргодичность. Если бы мы могли понизить частоту экстремальных цифр, это увеличило бы долю типичных чисел. Однако мы знаем, что в данном случае мы не можем отойти от естественного распределения $P(1) = P(\bar{1}) = 1/4$, и примерно половина всех цифр всегда будут экстремальными.

где индексы пробегает значения $-4 \leq s, t \leq 4$. Собственные значения матрицы \tilde{P} оказываются равны $1/2, 1/4, 1/8, \dots, 1/128, 1/256, 1/256$. Максимальное собственное значение $\lambda = 1/2$, а коэффициент $c = 151/315$. В итоге получаем оценку¹ $c^{-1}\lambda^{-n} = \frac{315}{151} \cdot 2^n \approx 2.086 \cdot 2^n$. Это почти вдвое меньше правильного ответа $4 \cdot 2^n - 1$.

5.2.17. (Цифры $\{-3, -2, \dots, 2, 3\}$.) Если мы ещё больше расширим множество цифр, разрешив ± 3 , то получим оценку $\frac{1663200}{655177} \cdot 2^n \approx 2.539 \cdot 2^n$ при правильном ответе $6 \cdot 2^n - 1$, т.е. наша оценка меньше половины от правильного числа. Если мы добавим ещё одну пару цифр ± 4 , получим оценку $\frac{6810804000}{2330931341} \cdot 2^n \approx 2.922 \cdot 2^n$ при правильном ответе $8 \cdot 2^n - 1$. Похоже, от расширения множества цифр оценка становится только хуже. В чём же дело?

5.2.18. (Таблица результатов для цифр $-m \dots m$.) Для того, чтобы разобраться, что происходит, сведём полученные результаты для наборов цифр $D_m = \{-m, -m+1, \dots, m\}$ с биномиальным распределением на цифрах² в небольшую таблицу, где $c(m)$ — это полученный из марковской цепи коэффициент c_1 , участвующий в асимптотической оценке $c(m)^{-1} \cdot 2^n + O(1)$ количества n -значных чисел:

m	оценка	точное значение	$c(m)^{-1} = c_1^{-1}$	$c(m)^{-1}$	$2m$
1	$\frac{3}{2} \cdot 2^n + O(1)$	$2^{n+1} - 1$	$\frac{3}{2}$	1.5	2
2	$\frac{315}{151} \cdot 2^n + O(1)$	$2^{n+2} - 1$	$\frac{315}{151}$	2.0861	4
3	$\frac{1663200}{655177} \cdot 2^n + O(1)$	$3 \cdot 2^{n+1} - 1$	$\frac{1663200}{655177}$	2.5386	6
4	$\frac{6810804000}{2330931341} \cdot 2^n + O(1)$	$2^{n+3} - 1$	$\frac{6810804000}{2330931341}$	2.9219	8
5	$3.2608 \cdot 2^n + O(1)$	$5 \cdot 2^{n+1} - 1$	$\frac{121645100408832}{37307713155613}$	3.2608	10
16	$5.8024 \cdot 2^n + O(1)$	$2^{n+5} - 1$	5.8024	5.8024	32

(Мы добавили сюда результат при $m = 16$, однако не указали точное зна-

¹В действительности распределение $P(2) = P(\bar{2}) = P(1) = P(\bar{1}) = 1/4$, $P(0) = 0$ даёт лучшую оценку $\frac{27}{8} \cdot 2^n = 3.375 \cdot 2^n$, чем выбранное нами биномиальное распределение; однако такое распределение цифр довольно противостоестественно.

²Судя по всему, оптимальную оценку в смысле **5.2.12** даёт не биномиальное распределение, а «экстремальное» распределение, задействующее только четыре цифры $\pm m$ и $\pm(m-1)$ с вероятностями $1/4$. Образ соответствующего распределения на D_m^ω относительно $w : D_m^\omega \rightarrow [-m, m]$ — это распределение с трапециевидной плотностью, очень близкое к равномерному при больших m . Тем не менее, мы продолжим изучать биномиальные распределения, переходящие в пределе в нормальные.

чение $c(16)^{-1}$, поскольку оно выражается дробью с восьмидесятизначными числителем и знаменателем; числитель равен $63!/78848$.)

Можно видеть, что коэффициент $c(m)^{-1}$ растёт при увеличении m гораздо медленнее, чем линейная функция. Например, при переходе от $m = 1$ к $m = 4$ он увеличивается с 1.5 до 2.922, т.е. чуть меньше, чем вдвое, в то время как «правильный» ответ увеличивается вчетверо. Это наводит на мысль, что наша оценка растёт примерно как \sqrt{m} , в то время как ожидаемый ответ линейно зависит от m , и расхождение только увеличивается с ростом m . И в самом деле, при переходе от $m = 1$ к $m = 2$ коэффициент $c(m)^{-1}$ увеличивается в $2.086/1.5 \approx 1.391$ раз, что очень близко к $\sqrt{2}$; при переходе от $m = 2$ к $m = 3$ — в $2.539/2.086 \approx 1.217$ раза, что близко к $\sqrt{3/2} \approx 1.225$; наконец, при переходе от $m = 3$ к $m = 4$ — в $2.922/2.539 \approx 1.151$ раза, что примерно равно $\sqrt{4/3} \approx 1.155$. Можно предположить, что при $m \rightarrow +\infty$ значение $c(m)^{-1}/\sqrt{m}$ стремится к некоторому пределу, близкому к $5.8024/\sqrt{16} \approx 1.4506$; чуть больше численных данных позволяют вычислить этот предел точнее как 1.4472. Мы увидим чуть дальше в (5.2.27.3), что на самом деле этот предел равен $\sqrt{2\pi/3}$.

5.2.19. (Правильный подсчёт количества целых чисел с n -значной записью.) Для того, чтобы объяснить получающиеся результаты, заметим, что при больших m экстремальные цифры, то есть близкие к $\pm m$, действительно стали крайне маловероятны. Это, может быть, и повысило «типичность» n -значных чисел, но зато сделало крайне маловероятным, что эти числа примут значения, близкие ко краям $-m \cdot 2^n \cdots m \cdot 2^n$, поскольку такие целые числа не могут быть записаны без крайне редких экстремальных цифр.

Это наводит на мысль о том, что теперь мы более-менее правильно вычисляем количество классов эквивалентности записей чисел длины n , но зато неправильно вычисляем другую величину, с которой мы её сравниваем. Целых чисел от $-m \cdot 2^n$ до $m \cdot 2^n$ на самом деле гораздо меньше, чем $m \cdot 2^{n+1} - 1$, потому что числа, близкие к концам этого отрезка, практически никогда не встречаются. Для того, чтобы получить логарифм их «правильного» количества, надо взять энтропию их истинного распределения, а не равномерного.

5.2.20. (Распределение целых чисел с записью в D^n , $D = \{-1, 0, 1\}$.) Например, если $D = \{-1, 0, 1\}$, т.е. $m = 1$, то целые числа ξ от $-2^n + 1$ до $2^n - 1$ получаются как значения слов из D^n не с одинаковыми веро-

ятностями, а с вероятностями

$$P(\xi = k) = \frac{2^n - |k|}{4^n} \quad \text{для целых } -2^n \leq k \leq 2^n \quad (5.2.20.1)$$

Здесь мы считаем, что цифры из D выбираются с естественными вероятностями $P(0) = 1/2$, $P(1) = P(\bar{1}) = 1/4$. Для того, чтобы доказать (5.2.20.1), достаточно записать цифры $\xi = \sum_{i=0}^{n-1} \xi_i 2^{n-1-i}$ в виде $\xi_i = \varepsilon_i^{(1)} - \varepsilon_i^{(2)}$, где $\varepsilon_i^{(j)}$ независимо принимают значения 0 и 1 с вероятностями $1/2$. Тогда $\xi = \xi^{(1)} - \xi^{(2)}$, где независимые $\xi^{(j)} = \sum_{i=0}^{n-1} \varepsilon_i^{(j)} 2^{n-1-i}$ принимают все целые значения от 0 до $2^n - 1$ с одинаковыми вероятностями, равными 2^{-n} .

5.2.21. (Энтропия распределения целых чисел с n -значной записью.) Теперь мы должны вычислить энтропию распределения (5.2.20.1), чтобы использовать её вместо логарифма количества чисел от $-2^n + 1$ до $2^n - 1$. Эта энтропия равна

$$H(\xi) = \sum_{k=1-2^n}^{2^n-1} -\frac{2^n - |k|}{4^n} \log\left(\frac{2^n - |k|}{4^n}\right) \quad (5.2.21.1)$$

Заменим эту сумму на интеграл

$$\begin{aligned} H(\xi) &= \log(2^n) + 2^{-n} \sum_{k=1-2^n}^{2^n-1} -p(k/2^n) \log p(k/2^n) \\ &\approx n \log 2 + \int_{-1}^1 -p(x) \log p(x) dx = n \log 2 + H(p) \end{aligned} \quad (5.2.21.2)$$

где $p(x) = (1 - |x|)[-1 \leq x \leq 1]$ — плотность распределения из **5.1.5**, а $H(p)$ — дифференциальная энтропия этого распределения. Таким образом, мы должны считать, что целых чисел от $-2^n + 1$ до $2^n - 1$ не $2^{n+1} - 1$, а приблизительно $e^{H(p)} \cdot 2^n$, где $H(p)$ — дифференциальная энтропия «треугольного» распределения вещественных чисел на $[-1, 1]$, определённого в **5.1.5**.

5.2.22. (Дифференциальная энтропия распределения $p(x) = 1 - |x|$ на $[-1, 1]$.) Теперь мы можем легко вычислить дифференциальную энтропию распределения $p(x)$ с плотностью $1 - |x|$ на $[-1, 1]$:

$$H(p) = -2 \int_0^1 x \log(x) dx = -x^2 \log(x) \Big|_0^1 + \int_0^1 x dx = \frac{1}{2} \quad (5.2.22.1)$$

Поэтому целых чисел, обладающих n -значной записью с цифрами $D = \{-1, 0, 1\}$, не $2^{n+1} - 1$, а примерно $e^{1/2} \cdot 2^n \approx 1.649 \cdot 2^n$. Отметим, что наше приближение $1.5 \cdot 2^n$, полученное с помощью цепи Маркова, не так далеко от этого значения.

5.2.23. (Дифференциальная энтропия распределения $p_4 = \chi_{[-1/2, 1/2]}^{*4}$)
 Что происходит при $m = 2$, $\tilde{D} = \{-2, -1, 0, 1, 2\}$? В этом случае случайная цифра $\xi_i \in \tilde{D}$ с биномиальным распределением вероятностей из **5.2.16** может быть получена как $\varepsilon_i^{(1)} + \varepsilon_i^{(2)} + \varepsilon_i^{(3)} + \varepsilon_i^{(4)}$, где $\varepsilon_i^{(j)}$ независимо и равновероятно принимают значения $\pm 1/2$. Отсюда легко находим, что плотность p_4 меры на $[-2, 2]$, являющейся образом меры-произведения \tilde{D}^ω относительно $w : \tilde{D}^\omega \rightarrow [-2, 2]$, $\xi_0 \xi_1 \dots \mapsto (0. \xi_0 \xi_1 \dots)_2 = \sum_{i=0}^{\infty} 2^{-i-1} \xi_i$, есть свёртка четырёх экземпляров $\chi_{[-1/2, 1/2]}$. Поэтому $p_4(t)$ — это кусочно-кубический многочлен

$$p_4(t) = \begin{cases} 0, & \text{при } t \geq 2 \\ \frac{(2-t)^3}{6}, & \text{при } 1 \leq t \leq 2 \\ \frac{t^3}{2} - t^2 + \frac{2}{3}, & \text{при } 0 \leq t \leq 1 \\ p_4(-t), & \text{при } t < 0 \end{cases} \quad (5.2.23.1)$$

Отметим, что значения $p_4(t)$ в целых точках $-2, -1, \dots, 2$ — это $0, 1/6, 2/3, 1/6, 0$; мы уже видели эту последовательность в **5.2.14**. Это совпадение неслучайно, см. (5.3.13.2).

В общем случае n -кратная свёртка $p_n = \chi_{[-1/2, 1/2]}^{*n}$ задаётся формулой

$$p_n(t) = n \cdot \sum_{k=0}^n \frac{(-1)^k (t + \frac{n}{2} - k)_+^{n-1}}{k!(n-k)!} \quad (5.2.23.2)$$

где $x_+ = \sup(x, 0)$; эту формулу можно проверить по индукции, но проще осознать, что это выражение обладает правильной n -ой производной, либо применить к (5.2.23.2) преобразование Лапласа \mathcal{L} и получить разложение $\mathcal{L}\{p_n\}(s) = \mathcal{L}\{\chi_{[-1/2, 1/2]}\}(s)^n = ((e^{s/2} - e^{-s/2})/s)^n$ по биному, поскольку $\mathcal{L}\{t_+^{n-1}/(n-1)!\}(s) = s^{-n}$.

Так или иначе, теперь $H(p_4)$ представляется в виде

$$H(p_4) = -2 \int_0^1 \frac{x^3}{6} \log\left(\frac{x^3}{6}\right) dx - 2 \int_0^1 \left(\frac{x^3}{2} - x^2 + \frac{2}{3}\right) \log\left(\frac{x^3}{2} - x^2 + \frac{2}{3}\right) dx \quad (5.2.23.3)$$

В принципе этот интеграл может быть выражен в замкнутой форме, поскольку интеграл $\int_a^b p(x) \log q(x) dx$ берётся для всех многочленов p и q ; однако для этого надо находить корни многочлена $q(x)$, например, для $q(x) = x^3/2 - x^2 + 2/3$. Итоговое выражение слишком громоздко; лучше проинтегрировать численно и получить $H(p_4) \approx 0.8667$ и $e^{H(p_4)} \approx 2.379$. Таким образом, при $m = 2$ и множестве цифр $D = \{-2, -1, 0, 1, 2\}$ мы получаем $e^{H(p_4)} \cdot 2^n \approx 2.379 \cdot 2^n$ n -значных чисел, при нашей оценке с помощью цепи Маркова в $\frac{315}{151} \cdot 2^n \approx 2.0861 \cdot 2^n$.

5.2.24. (Таблица новых оценок.)

m	$H(p_{2m})$	$e^{H(p_{2m})}$	$c(m)^{-1} = c_1^{-1}$	$c(m)^{-1}$	$2m$
1	$\frac{1}{2}$	1.6487	$\frac{3}{2}$	1.5	2
2	0.8667	2.3791	$\frac{315}{151}$	2.0861	4
3	1.0713	2.9192	$\frac{1663200}{655177}$	2.5386	6
4	1.2156	3.3725	$\frac{6810804000}{2330931341}$	2.9219	8
5	1.3274	3.7714	$\frac{121645100408832}{37307713155613}$	3.2608	10
16	1.9093	6.7485	5.8024	5.8024	32

Похоже, $e^{H(p_{2m})}/c(m)^{-1}$ стремится не к единице, а к какому-то другому пределу, приблизительно равному 1.165. Мы увидим чуть дальше в (5.2.28.6), что этот загадочный предел на самом деле равен $\sqrt{e/2}$.

5.2.25. (Способ избавиться от расхождения: точная интегральная формула для $c_1 = c(m)$.) Отметим, что есть очень простой способ полностью избавиться от расхождения: а именно, вспомнить, что цепь Маркова даёт нам вероятность p того, что два случайных слова длины n эквивалентны, в виде $c_1 2^{-n} + O(1)$, в то время как $p = \sum_{i=1}^N p_i^2$, где p_i — вероятность того, что слово попало в i -й класс эквивалентности (см. 5.2.10). Иначе говоря, $\{p_i\}_{1 \leq i \leq N}$ — это в точности то самое распределение вероятностей на целых числах $-m \cdot 2^n \dots m \cdot 2^n$, энтропию которого мы считали в 5.2.21, а значит, следует ожидать, что $c_1 = c(m)$ можно приблизительно вычислить как

$$c_1 = c(m) \approx \int_{\mathbb{R}} p_{2m}(t)^2 dt \quad (5.2.25.1)$$

где теперь p_{2m} — $2m$ -кратная свёртка $\chi_{[-1/2, 1/2]}^{*2m}$ из (5.2.23.2). В действительности ошибка замены суммы на интеграл крайне мала и имеет порядок $O(2^{-n})$, и потому приведённая выше формула должна быть равен-

СТВОМ:

$$c(m) = c_1 = \int_{\mathbb{R}} p_{2m}(t)^2 dt \quad (5.2.25.2)$$

5.2.26. (Точная формула для $c(m)$.) Поскольку $p_{2m}(t) = p_{2m}(-t)$, равенство (5.2.25.2) можно продолжить следующим образом:

$$c(m) = \int_{\mathbb{R}} p_{2m}(t)^2 dt = (p_{2m} * p_{2m})(0) = p_{4m}(0) \quad (5.2.26.1)$$

Теперь мы можем вычислить точное значение $c(m)$ с помощью (5.2.23.2), где мы заменим индекс суммирования $k \leftrightarrow 2m - k$:

$$c(m) = p_{4m}(0) = 4m \cdot \sum_{k=1}^{2m} \frac{(-1)^k k^{4m-1}}{(2m-k)!(2m+k)!} \quad (5.2.26.2)$$

В частности, $(4m-1)! \cdot c(m) \in \mathbb{Z}$.

5.2.27. (Предел $c(m)\sqrt{m}$ при $m \rightarrow +\infty$.) Заметим, что $p_{4m}(t)$ — это плотность распределения суммы $4m$ независимых случайных величин, равномерно распределённых на отрезке $[-1/2, 1/2]$, а значит, по центральной предельной теореме $p_{4m}(t)$ близко к нормальному распределению с нулевым средним и дисперсией $m/3$:

$$p_{4m}(t) \approx \frac{\sqrt{3}}{\sqrt{2\pi m}} e^{-3t^2/(2m)} \quad (5.2.27.1)$$

откуда

$$c(m) = p_{4m}(0) \approx \sqrt{\frac{3}{2\pi}} m^{-1/2} \quad (5.2.27.2)$$

так что предел $c(m)^{-1}/\sqrt{m}$ из **5.2.18** в действительности равен

$$\lim_{m \rightarrow +\infty} c(m)^{-1} m^{-1/2} = \sqrt{2\pi/3} \approx 1.4472025 \quad (5.2.27.3)$$

5.2.28. (Дифференциальная энтропия и интеграл квадрата плотности нормального распределения.) Пусть $\rho_\sigma(t)$ — плотность нормального распределения $\mathcal{N}(0, \sigma^2)$:

$$\rho_\sigma(t) = \frac{1}{\sigma\sqrt{2\pi}} e^{-t^2/(2\sigma^2)} \quad (5.2.28.1)$$

Тогда

$$\int_{\mathbb{R}} \rho_{\sigma}(t)^2 dt = (\rho_{\sigma} * \rho_{\sigma})(0) = \rho_{\sigma\sqrt{2}}(0) = \frac{1}{2\sigma\sqrt{\pi}} \quad (5.2.28.2)$$

и

$$\begin{aligned} H(\rho_{\sigma}) &= - \int_{\mathbb{R}} \rho_{\sigma}(t) \log \rho_{\sigma}(t) dt = \log(\sigma\sqrt{2\pi}) + \frac{1}{2\sigma^2} \int_{\mathbb{R}} t^2 \rho_{\sigma}(t) dt \\ &= \log(\sigma) + \log(\sqrt{2\pi}e) \end{aligned} \quad (5.2.28.3)$$

откуда

$$e^{H(\rho_{\sigma})} = \sigma\sqrt{2\pi}e \quad (5.2.28.4)$$

и

$$\int_{\mathbb{R}} \rho_{\sigma}^2(t) dt = \sqrt{\frac{e}{2}} \cdot e^{-H(\rho_{\sigma})} \quad (5.2.28.5)$$

Поскольку p_{2m} близко к $\mathcal{N}(0, m/6)$ при $m \gg 0$, мы можем вычислить предел

$$\lim_{m \rightarrow +\infty} e^{H(p_{2m})} c(m) = \sqrt{\frac{e}{2}} \approx 1.165822 \quad (5.2.28.6)$$

ранее возникший в **5.2.24**.

5.2.29. (Асимптотическое разложение $c(m) = p_{4m}(0)$ при $m \rightarrow +\infty$.) Точная формула (5.2.26.2) мало говорит нам о поведении $c(m) = p_{4m}(0)$ при $m \rightarrow +\infty$. Для того, чтобы изучить это поведение, вычислим $p_N(0)$ с помощью преобразования Фурье:

$$p_N(0) = \frac{1}{2\pi} \int_{\mathbb{R}} \hat{p}_N(t) dt = \frac{1}{2\pi} \int_{\mathbb{R}} \left(\frac{\sin(t/2)}{t/2} \right)^N dt = \frac{1}{\pi} \int_{\mathbb{R}} \text{sinc}^N(t) dt \quad (5.2.29.1)$$

где $\text{sinc}(t) = \sin(t)/t$. Запишем

$$\begin{aligned} \log \text{sinc}(t) &= \log \left(1 - \frac{t^2}{3!} + \frac{t^4}{5!} - \frac{t^6}{7!} + \frac{t^8}{9!} + O(t^{10}) \right) \\ &= -\frac{t^2}{6} - \frac{t^4}{180} - \frac{t^6}{2835} - \frac{t^8}{37800} + O(t^{10}) \end{aligned} \quad (5.2.29.2)$$

откуда

$$\text{sinc}^N(t) = e^{-Nt^2/6} \left(1 - \frac{Nt^4}{180} - \frac{Nt^6}{2835} + \frac{N^2t^8}{64800} - \frac{Nt^8}{37800} + O(t^{10}) \right) \quad (5.2.29.3)$$

Теперь мы можем ввести новую переменную $x = t\sqrt{N/3}$ и переписать интеграл (5.2.29.1) в виде

$$\begin{aligned} p_N(0) &= \frac{1}{\pi\sqrt{N/3}} \int_{\mathbb{R}} e^{-x^2/2} \left(1 - \frac{x^4}{20N} - \frac{x^6}{105N^2} + \frac{x^8}{800N^2} + O(x^8N^{-3}) \right) dx \\ &= \sqrt{\frac{6}{\pi N}} \left(1 - \frac{3}{20N} - \frac{13}{1120N^2} + O(N^{-3}) \right) \end{aligned} \quad (5.2.29.4)$$

поскольку $\int_{\mathbb{R}} x^{2n} e^{-x^2/2} dx = (2n-1)!!\sqrt{2\pi}$. Если подставить сюда $N = 4m$, получим асимптотическое разложение $c(m)$:

$$c(m) = \sqrt{\frac{3}{2\pi}} \left(m^{-1/2} - \frac{3}{80}m^{-3/2} - \frac{13}{17920}m^{-5/2} + O(m^{-7/2}) \right) \quad (5.2.29.5)$$

и

$$c(m)^{-1} = \sqrt{\frac{2\pi}{3}} \left(m^{1/2} + \frac{3}{80}m^{-1/2} + \frac{191}{89600}m^{-3/2} + O(m^{-5/2}) \right) \quad (5.2.29.6)$$

Последняя формула на практике оказывается удивительно точной даже при маленьких m , как будто коэффициент при $m^{-5/2}$ в ней крайне мал, приблизительно $1/5000$.

5.3 Спектр матрицы переходов цепи Маркова

Среди загадок, рассмотренных в предыдущем пункте, осталась непрояснённой как минимум одна: почему спектр матриц перехода $A = A_{m'}$ возникающих цепей Маркова, вроде (5.2.16.1) при $m' = 2$, состоит из $\{2^{-k}\}_{1 \leq k \leq 4m'}$ и ещё одного собственного числа $2^{-4m'}$?

5.3.1. (Последствия для подсчёта вероятности возврата за n шагов.) Центральную роль в рассмотренных предыдущего пункта играла вероятность p возврата построенной цепи Маркова в начальное состояние за n шагов. Мы получили для этой вероятности возврата формулу вида $c(m') \cdot 2^{-n} + O(4^{-n})$, и затем изучили поведение функции $c(m')$ при различных значениях m' . Однако, если бы мы знали все собственные числа λ_j матрицы переходов $A_{m'}$, то мы могли бы написать для вероятности возврата формулу вида

$$p = \sum_{j=1}^{4m'+1} c_j \lambda_j^n = \sum_{j=1}^{4m'+1} c_j(m') \lambda_j^n \quad (5.3.1.1)$$

где $\{\lambda_j\}_{1 \leq j \leq 4m'+1}$ — собственные числа матрицы A_m в порядке убывания модуля, а $c_j = c_j(m')$ — некоторые коэффициенты, являющиеся произведениями подходящих элементов матрицы собственных векторов и обратной к ней. В частности, если верно, что $\lambda_j = 2^{-j}$ при $1 \leq j \leq 4m'$ и $\lambda_{4m'+1} = 2^{-4m'}$, то должна быть выполнена формула

$$p = \sum_{j=1}^{4m'} c_j 2^{-jn} + n c_{4m'+1} 2^{-4m'n} \quad (5.3.1.2)$$

для некоторых $c_j \in \mathbb{C}$. Напротив, если мы докажем существование такой формулы для всех n с *ненулевыми* коэффициентами c_j при $1 \leq j \leq 4m'$, отсюда будет следовать, что $\{2^{-j}\}_{1 \leq j \leq 4m'}$ присутствуют среди собственных чисел матрицы $A_{m'}$. Оставшееся собственное число $2^{-4m'}$ тогда однозначно определяется тем, что сумма собственных чисел должна быть равна следу $\text{Tr } A_{m'} = 1$.

5.3.2. (Половина коэффициентов c_j в (5.3.1.2) равны нулю.) В действительности все коэффициенты c_j в формуле (5.3.1.2) с чётными индексами j оказываются равны нулю по соображениям симметрии, как мы увидим в **5.3.16**. Например, при $m' = 2$ точная формула вероятности возврата в начальное состояние за n шагов имеет вид

$$p = \frac{151}{315} \cdot 2^{-n} + \frac{2}{9} \cdot 2^{-3n} + \frac{7}{45} \cdot 2^{-5n} + \frac{1}{7} \cdot 2^{-7n} \quad (5.3.2.1)$$

что уточняет результат **5.2.16**. Поэтому для наших целей недостаточно рассматривать только вероятности возврата в начальное состояние за n шагов. В связи с этим мы будем также изучать вероятности перехода за n шагов из любого исходного состояния s в любое конечное состояние t .

5.3.3. (Новый параметр $m = 4m'$.) Пока не поздно, введём новый параметр $m = 4m'$, поскольку исходный параметр m' (определяющий диапазон цифр $D_{m'} = \{-m', -m' + 1, \dots, m'\}$ избыточной двоичной системы) почти всегда оказывается в формулах в удвоенном или в учетверённом виде. Это связано с тем, что мы выбираем очередную случайную цифру $\xi_j \in D_{m'}$ с помощью биномиального распределения, т.е. ξ_j есть сумма $2m'$ независимых случайных величин $\varepsilon_j^{(k)}$, принимающих значения $\pm 1/2$ с одинаковой вероятностью $1/2$. Цифры η_j другого случайного числа выбираются аналогичным образом, и наша марковская цепь с $4m'+1$ состояниями $s \in \{-2m', -2m' + 1, \dots, 2m'\}$ переходит из состояния s в новое

состояние $t = 2s + (\xi_j - \eta_j)$, при условии, что $|t| \leq 2m'$ (иначе марковская цепь перестаёт работать или переходит в специальное ошибочное состояние). Иначе говоря, мы получаем марковскую цепь, переходы $s \rightarrow t$ в которой определяются

$$t = 2s + \sum_{k=1}^{4m'} \varepsilon_j^{(k)} \quad (5.3.3.1)$$

т.е. возникают суммы $4m'$ случайных величин $\varepsilon_j^{(k)} = \pm 1/2$. Ясно, что параметр $m = 4m'$ гораздо более естественен при изучении таких марковских цепей и их матриц перехода.

5.3.4. (Марковская цепь и её матрица переходов $A = A_m$ в зависимости от нового параметра m .) Итак, теперь мы изучаем марковскую цепь с $m+1$ состоянием $-m/2, -m/2+1, \dots, m/2$, переходы в которой задаются процессом

$$s_{j+1} = 2s_j + \sum_{k=1}^m \varepsilon_j^{(k)} \quad (5.3.4.1)$$

при условии, что s_{j+1} оказывается в разрешённом множестве. Заметим, что при нечётном m все состояния, начиная с s_1 , будут не целыми, а полуцелыми, так что в этом случае естественно в качестве состояний марковской цепи взять полуцелые числа $-m/2, -m/2+1, \dots, m/2$. Тем не менее, мы получаем марковскую цепь с $m+1$ состояниями вне зависимости от чётности m . Её матрица переходов $A = A_m$ есть

$$(A_m)_{st} = \begin{cases} 2^{-m} \binom{m}{t-2s+m/2}, & \text{если } |t-2s| \leq m/2 \\ 0, & \text{иначе} \end{cases} \quad (5.3.4.2)$$

Здесь s и t пробегает множество состояний, т.е. целые или полуцелые числа $-m/2, -m/2+1, \dots, m/2$, и $(A_m)_{st}$ — вероятность перехода из состояния s в состояние t за один шаг. Видно, что строки матрицы A — это сдвинутые и усечённые биномиальные распределения. Например, (5.2.9.1) — это теперь матрица A_4 , а (5.2.16.1) — это A_8 . Отметим ещё, что

$$\text{Tr } A_m = \sum_{s=-m/2}^{m/2} (A_m)_{ss} = 2^{-m} \sum_{s=-m/2}^{m/2} \binom{m}{m/2-s} = 1 \quad (5.3.4.3)$$

В формулах такого вида суммы от $-m/2$ до $m/2$ будут обозначать сумму по всем целым или полуцелым индексам в указанном диапазоне в зависимости от чётности m . При желании можно преобразовать такие суммы в обычные суммы от 0 до m , если использовать $s' = s + m/2$ в качестве нового индекса суммирования.

5.3.5. (Точный подсчёт вероятности возврата в начальное состояние за n шагов.) Попробуем получить точную формулу для вероятности возврата в нулевое состояние за n шагов. Отметим, что эта задача имеет смысл только для чётного m (как в исходной постановке задачи, соответствующей $m = 4m'$), однако первые несколько этапов последующего вывода верны и для нечётного m . Согласно предыдущему пункту, состояние марковской цепи после n шагов — это случайная величина

$$\xi = \sum_{j=0}^{n-1} 2^{n-1-j} \xi_j \quad (5.3.5.1)$$

где независимые случайные величины ξ_j (изначально возникшие как разности двух случайных цифр) выбраны согласно биномиальному распределению. Иначе говоря, можно считать, что

$$\xi_j = \sum_{k=1}^m \varepsilon_j^{(k)} \quad (5.3.5.2)$$

где $\varepsilon_j^{(k)}$ независимо принимают значения $\pm 1/2$ с вероятностями $1/2$. В итоге мы можем записать

$$\xi = \sum_{j=0}^{n-1} 2^j \sum_{k=1}^m \varepsilon_j^{(k)} = \sum_{k=1}^m \sum_{j=0}^{n-1} 2^j \varepsilon_j^{(k)} \quad (5.3.5.3)$$

где мы заменили индекс суммирования $j \leftrightarrow n - 1 - j$. Заметим, что $\sum_{j=0}^{n-1} 2^j \varepsilon_j^{(k)}$ — это случайная величина $\nu_n^{(k)}$, равновероятно принимающая все 2^n полуцелых значений в диапазоне $-2^{n-1} + 1/2 \dots 2^{n-1} - 1/2$ с шагом один. Таким образом, ξ — сумма m таких независимых случайных величин. Выпишем производящую функцию Ez^ξ (т.е. преобразование Фурье $Ee^{it\xi}$ с заменой $z = e^{it}$):

$$Ez^\xi = \sum_{k \in \mathbb{Z}} P(\xi = k) z^k = \left(\frac{1}{N} \sum_{j=0}^{N-1} z^{j-(N-1)/2} \right)^m \quad (5.3.5.4)$$

где мы положили $N := 2^n$. Таким образом, интересующая нас вероятность возврата $P(\xi = 0)$ — это коэффициент при z^0 в разложении Лорана рациональной функции

$$Ez^\xi = \left(\frac{z^{N/2} - z^{-N/2}}{N(z^{1/2} - z^{-1/2})} \right)^m = N^{-m} z^{-m(N-1)/2} \frac{(1 - z^N)^m}{(1 - z)^m} \quad (5.3.5.5)$$

Однако

$$(1 - z)^{-m} = \sum_{\ell=0}^{+\infty} \binom{\ell + m - 1}{m - 1} z^\ell \quad (5.3.5.6)$$

и

$$(1 - z^N)^m = \sum_{k=0}^m (-1)^k \binom{m}{k} z^{kN} \quad (5.3.5.7)$$

Отсюда мы легко находим коэффициент при z^s в Ez^ξ :

$$P(\xi = s) = N^{-m} \sum_{k=0}^m (-1)^k \binom{m}{k} \binom{s + m(N + 1)/2 - 1 - kN}{m - 1} \quad (5.3.5.8)$$

где сумма берётся только по тем $0 \leq k \leq m$, для которых $s + m(N + 1)/2 - 1 - kN \geq m - 1$, т.е. $kN \leq s + m(N - 1)/2$ или $k \leq m/2 + \lfloor \frac{s - m/2}{N} \rfloor$; в последнем преобразовании мы предполагаем m чётным. В частности, при $|s| \leq m/2$ (соответствующих состояниям нашего конечного автомата и цепи Маркова) следует суммировать по $0 \leq k \leq m/2 - 1$ (если $N \geq m$), за исключением случая $s = m/2$, когда нужно учесть ещё и $k = m/2$:

$$P(\xi = s) = N^{-m} \sum_{k=\lfloor s < m/2 \rfloor}^{m/2} (-1)^{m/2-k} \binom{m}{m/2 - k} \binom{kN + s + m/2 - 1}{m - 1} \quad (5.3.5.9)$$

где мы заменили индекс суммирования $k \leftrightarrow m/2 - k$.

Тем самым мы получили явную формулу для распределения вероятностей состояний нашей марковской цепи через n шагов, пока что при дополнительном условии, что $N = 2^n \geq m$, и для чётного m .

5.3.6. (Преобразование явной формулы вероятностей конечных состояний.) Перепишем формулу (5.3.5.9) следующим образом:

$$P(\xi = s) = \frac{m}{N^m} \sum_{k=\lfloor s < m/2 \rfloor}^{m/2} (-1)^{\frac{m}{2}-k} \frac{(kN + s + \frac{m}{2} - 1)^{m-1}}{(\frac{m}{2} - k)! (\frac{m}{2} + k)!} \quad (5.3.6.1)$$

где $x^n = x(x-1)\cdots(x-n+1)$ — n -ая убывающая степень x , и мы по-прежнему предполагаем m чётным. Поскольку

$$x^n = \sum_{\ell=0}^n (-1)^{n-\ell} \begin{bmatrix} n \\ \ell \end{bmatrix} x^\ell \quad (5.3.6.2)$$

где $\begin{bmatrix} n \\ \ell \end{bmatrix}$ обозначает число Стирлинга первого рода (количество подстановок n элементов, раскладывающихся в ℓ циклов), мы можем переписать сумму в (5.3.6.1) как многочлен от $N = 2^n$ (при чётном m):

$$P(\xi = s) = \frac{m}{N^m} \sum_{k=\lfloor s < m/2 \rfloor}^{m/2} \sum_{\ell=0}^{m-1} \frac{(-1)^{\frac{m}{2}-k+\ell+1}}{(\frac{m}{2}-k)! (\frac{m}{2}+k)!} \begin{bmatrix} m-1 \\ \ell \end{bmatrix} \left(kN + s + \frac{m}{2} - 1\right)^\ell \quad (5.3.6.3)$$

Видно, что эта сумма может быть записана как некоторый многочлен $Q_m(s; N)$ от N степени $m-1$, который в действительности является многочленом от s и N , если ограничиться только значениями $-m/2 \leq s < m/2$. Поэтому $P(\xi = s)$ представима в виде

$$P(\xi = s) = \sum_{j=1}^m c_{s,j} N^{-j} = \sum_{j=1}^m c_{s,j} 2^{-jn} \quad (5.3.6.4)$$

с рациональными $c_{s,j}$ — коэффициентами многочлена $Q_m(s; N)$. Это формула вида (5.3.1.2), её существование как раз и означает, что $\{2^{-j}\}_{1 \leq j \leq m}$ — это собственные числа матрицы A_m . Однако нам надо как-то убедиться, что для каждого j есть хотя бы один ненулевой $c_{s,j}$.

5.3.7. (Явная формула для всех элементов A_m^n .) Заметим, что мы можем аналогичным образом вычислить все вероятности перехода $t \rightarrow s$ за n шагов, т.е. все элементы $(A_m^n)_{ts}$, $-m/2 \leq s, t \leq m/2$, причём вне зависимости от чётности m . Рассуждая как при выводе (5.3.6.1), получаем

$$(A_m^n)_{ts} = P(\xi = s - Nt) = \frac{m}{N^m} \sum_{k=\lfloor s < m/2 \rfloor}^{\frac{m}{2}-t} (-1)^{\frac{m}{2}-t-k} \frac{(kN + s + \frac{m}{2} - 1)^{m-1}}{(\frac{m}{2}-t-k)! (\frac{m}{2}+t+k)!} \quad (5.3.7.1)$$

при условии $N = 2^n \geq m$. В этой формуле важно, что $s+m/2$ и $t+m/2$ — всегда целые числа в диапазоне от 0 до m . Кроме того, при нечётном m

существенно, что $N = 2^n$ чётно. Мы можем снова разложить x^{m-1} при помощи чисел Стирлинга:

$$(A_m^n)_{ts} = \frac{m}{N^m} \sum_{k=[s < m/2]}^{m/2-t} \sum_{\ell=0}^{m-1} \frac{(-1)^{\frac{m}{2}-t-k+m-\ell-1} \begin{bmatrix} m-1 \\ \ell \end{bmatrix}}{\left(\frac{m}{2}-k-t\right)! \left(\frac{m}{2}+k+t\right)!} \left(kN + \left(\frac{m}{2} + s - 1\right)\right)^\ell \quad (5.3.7.2)$$

Теперь разложим $(kN + (m/2 + s - 1))^\ell$ по биному:

$$(A_m^n)_{ts} = \frac{m}{N^m} \sum_{k=[s < m/2]}^{m/2-t} \sum_{\ell=0}^{m-1} \sum_{j=0}^{\ell} \frac{(-1)^{\frac{m}{2}-t-k+m-\ell-1} \begin{bmatrix} m-1 \\ \ell \end{bmatrix} \binom{\ell}{j}}{\left(\frac{m}{2}-t-k\right)! \left(\frac{m}{2}+t+k\right)!} k^j N^j \left(\frac{m}{2} + s - 1\right)^{\ell-j} \quad (5.3.7.3)$$

5.3.8. (Разложение матрицы A_m^n .) В итоге мы можем записать

$$A_m^n = \sum_{j=0}^{m-1} N^{-j-1} \mathbf{C}_j^{(m)} \quad (5.3.8.1)$$

где по-прежнему $N = 2^n$, и

$$\begin{aligned} (\mathbf{C}_{m-1-j}^{(m)})_{ts} &= m \sum_{k=[s < m/2]}^{m/2-t} \frac{(-1)^{\frac{m}{2}-t-k} k^j}{\left(\frac{m}{2}-t-k\right)! \left(\frac{m}{2}+t+k\right)!} \\ &\times \sum_{\ell=j}^{m-1} (-1)^{m-\ell-1} \begin{bmatrix} m-1 \\ \ell \end{bmatrix} \binom{\ell}{j} \left(\frac{m}{2} + s - 1\right)^{\ell-j} \end{aligned} \quad (5.3.8.2)$$

при $0 \leq j \leq m-1$. Удивительным (на самом деле — ожидаемым) образом вторая сумма не зависит от t , а первая зависит от s только нижним индексом суммирования $[s < m/2]$, который добавляет дополнительное слагаемое с $k=0$ при $s = m/2$. Однако это слагаемое содержит множитель $k^j = 0^j$ и потому существенно только при $j=0$. Таким образом, при $j < m-1$ матрица $\mathbf{C}_j^{(m)}$ оказывается матрицей ранга один, а $\mathbf{C}_{m-1}^{(m)}$ — матрица ранга два.

5.3.9. (Разложения матриц $\mathbf{C}_j^{(m)}$.) Мы видим, что матрицы $\mathbf{C}_j^{(m)}$ при $0 \leq j \leq m-2$ являются матрицами ранга один и потому могут быть записаны как произведение вектора на ковектор, т.е. столбца на строку: $\mathbf{C}_j^{(m)} = \mathbf{v}_j \mathbf{u}_j^T$. Более того, формула (5.3.8.2) подсказывает, как именно

можно выбрать эти вектор и ковектор:

$$(\mathbf{v}_{m-1-j})_t = m \binom{m-1}{j} \sum_{k=1}^{m/2-t} \frac{(-1)^{m/2-t-k} k^j}{(\frac{m}{2}-t-k)! (\frac{m}{2}+t+k)!} \quad (5.3.9.1)$$

$$(\mathbf{u}_{m-1-j})_s = \binom{m-1}{j}^{-1} \sum_{\ell=j}^{m-1} (-1)^{m-\ell-1} \begin{bmatrix} m-1 \\ \ell \end{bmatrix} \binom{\ell}{j} \left(\frac{m}{2}+s-1\right)^{\ell-j} \quad (5.3.9.2)$$

где по-прежнему $-m/2 \leq s, t \leq m/2$ и $0 \leq j \leq m-1$, и мы злоупотребили возможностью домножения \mathbf{v}_{m-1-j} на произвольно выбранные нормировочные множители $\binom{m-1}{j}$ с одновременным делением \mathbf{u}_{m-1-j} на те же множители. При $j=0$ мы обозначим получающийся вектор \mathbf{v}_{m-1} также через \mathbf{v}_{m-1}^+ , чтобы подчеркнуть, что мы начинаем суммирование с $k=1$, а не с $k=0$. Тогда вариант, соответствующий началу суммирования с $k=0$, можно обозначить \mathbf{v}_{m-1}^- . Кроме того, при $j=0$ нам понадобятся дополнительные вектор и ковектор, соответствующие дополнительному слагаемому с $k=0$ в (5.3.8.2), которое надо прибавить при $s=m/2$:

$$(\tilde{\mathbf{v}}_m)_t = (\mathbf{v}_{m-1}^-)_t - (\mathbf{v}_{m-1}^+)_t = \frac{(-1)^{m/2-t} \cdot m}{(\frac{m}{2}-t)! (\frac{m}{2}+t)!} = \frac{(-1)^{m/2-t}}{(m-1)!} \binom{m}{m/2-t} \quad (5.3.9.3)$$

$$(\tilde{\mathbf{u}}_m)_s = (\mathbf{u}_{m-1})_s \cdot [s \geq m/2] = (\mathbf{u}_{m-1})_{m/2} \cdot \delta_{s, m/2} = (m-1)! \delta_{s, m/2} \quad (5.3.9.4)$$

где мы сразу подставили значение $(\mathbf{u}_{m-1})_{m/2} = (m-1)!$, которое будет вычислено в (5.3.20.6). Теперь

$$\mathbf{C}_j^{(m)} = \begin{cases} \mathbf{v}_j \mathbf{u}_j^T, & \text{при } 0 \leq j \leq m-2 \\ \mathbf{v}_{m-1}^+ \mathbf{u}_{m-1}^T + \tilde{\mathbf{v}}_m \tilde{\mathbf{u}}_m^T, & \text{при } j = m-1 \end{cases} \quad (5.3.9.5)$$

и

$$\mathbf{A}_m^n = \sum_{j=0}^{m-1} 2^{-(j+1)n} \mathbf{C}_j^{(m)} = \sum_{j=0}^{m-1} 2^{-(j+1)n} \mathbf{v}_j \mathbf{u}_j^T + 2^{-mn} \tilde{\mathbf{v}}_m \tilde{\mathbf{u}}_m^T \quad (5.3.9.6)$$

Строго говоря, мы пока что доказали последнее равенство только при $N = 2^n \geq m$, но мы вскоре увидим в **5.3.11**, что оно верно для всех целых n .

Лемма 5.3.10 (Проекторы на собственные подпространства.) Пусть \mathbf{A} , $\mathbf{C}_1, \dots, \mathbf{C}_m$ — квадратные матрицы одинакового размера $N \times N$ над полем k , и пусть $\lambda_1, \dots, \lambda_m \in k$ — различные скаляры. Предположим, что

$$\mathbf{A}^n = \sum_{j=1}^m \lambda_j^n \mathbf{C}_j \quad \text{для всех целых } n \geq n_0 \quad (5.3.10.1)$$

для некоторого $n_0 \in \mathbb{N}_0$. Тогда:

- a) Минимальный многочлен матрицы \mathbf{A} делит $p(X) := X^{n_0} \prod_{j=1}^m (X - \lambda_j)$.
- b) $\text{spec } \mathbf{A} \subset \{0, \lambda_1, \dots, \lambda_m\}$. Если $n_0 = 0$, то $\text{spec } \mathbf{A} \subset \{\lambda_1, \dots, \lambda_m\}$.
- c) Собственные подпространства $V_\lambda \subset V = k^N$ для всех ненулевых собственных чисел λ матрицы \mathbf{A} совпадают с корневыми подпространствами. Если $n_0 \leq 1$, это верно и для нулевого собственного числа.
- d) Пусть $n_0 \geq 1$ и все $\lambda_i \neq 0$. Положим $\mathbf{C}_0 := 1 - \sum_{j=1}^m \mathbf{C}_j$ и $\lambda_0 := 0$. Тогда $\{\mathbf{C}_j\}_{0 \leq j \leq m}$ — коммутирующие ортогональные идемпотенты, коммутирующие также и с матрицей \mathbf{A} и выражающиеся как многочлены от \mathbf{A} . Это семейство ортогональных идемпотентов определяет разложение $V = k^N$ в прямую сумму корневых подпространств, соответствующих собственным числам λ_j матрицы \mathbf{A} .
- e) Если (5.3.10.1) выполнено при $n \geq n_0$, все $\lambda_i \neq 0$, и матрица \mathbf{A} обратима, то (5.3.10.1) выполнено для всех $n \geq 0$, и даже для всех $n \in \mathbb{Z}$.

Доказательство. а) Заметим, что для любого многочлена $P(X)$, делящегося на X^{n_0} , верно равенство $P(\mathbf{A}) = \sum_{j=1}^m P(\lambda_j) \mathbf{C}_j$, являющееся линейной комбинацией равенств вида (5.3.10.1). Взяв в качестве $P(X)$ многочлен $X^{n_0}(X - \lambda_1) \cdots (X - \lambda_m)$, получаем $P(\mathbf{A}) = 0$, т.е. $P(X)$ делится на минимальный многочлен матрицы \mathbf{A} .

b) Собственные числа матрицы \mathbf{A} — это корни её минимального многочлена, так что $\text{spec } \mathbf{A}$ содержится во множестве корней $p(X)$ из а).

c) В самом деле, из а) следует, что все ненулевые корни минимального многочлена матрицы \mathbf{A} — простые. Это как раз означает, что соответствующие корневые подпространства совпадают с собственными. При $n_0 \leq 1$ это же верно и для нулевого собственного числа.

d) Пусть $Q_k(X) = c_k X^{n_0} \prod_{j \neq k} (X - \lambda_j)$ — многочлен, делящийся на X^{n_0} , и такой, что $Q_k(\lambda_j) = \delta_{jk}$. Поскольку $Q_k(X)$ делится на X^{n_0} , снова $Q_k(\mathbf{A}) = \sum_{j=1}^m Q_k(\lambda_j) \mathbf{C}_j = \mathbf{C}_k$. Таким образом, \mathbf{C}_j при $1 \leq j \leq m$ являются многочленами от \mathbf{A} , а значит, это верно и для $\mathbf{C}_0 := \mathbf{E}_N - \sum_{j=1}^m \mathbf{C}_j$. Далее, $\mathbf{C}_j \mathbf{C}_k = Q_j(\mathbf{A}) Q_k(\mathbf{A}) = (Q_j Q_k)(\mathbf{A}) = \delta_{jk} \mathbf{C}_j$, поскольку $Q_j Q_k$ делится на X^{n_0} . Это доказывает, что $\{\mathbf{C}_j\}_{1 \leq j \leq m}$ — коммутирующие ортогональные идемпотенты, а значит, если их дополнить $\mathbf{C}_0 = \mathbf{E}_N - \sum_{j=1}^m \mathbf{C}_j$, мы получим полное семейство ортогональных идемпотентов, коммутирующих с матрицей \mathbf{A} . Это семейство определяет разложение $V = k^N$ в прямую сумму $V = \bigoplus_{0 \leq j \leq m} V_j$, где $V_j := \mathbf{C}_j(V)$, причём это разложение согласовано с \mathbf{A} . Теперь легко видеть, что ограничение \mathbf{A} на V_j совпадает с умножением на скаляр λ_j — например, потому что $(\mathbf{A} - \lambda_j) \mathbf{C}_j = (\mathbf{A} - \lambda_j) Q_j(\mathbf{A}) = 0$, так как $(X - \lambda_j) Q_j(X)$ делится на минимальный многочлен матрицы \mathbf{A} . Аналогично, $\mathbf{A}^{n_0} \mathbf{C}_0 = \mathbf{A}^{n_0} Q_0(\mathbf{A}) = 0$, где $Q_0(X) := 1 - \sum_{j=1}^m Q_j(X)$, потому что $X^{n_0} Q_0(X)$ делится на минимальный многочлен матрицы \mathbf{A} . Это доказывает, что V_j — действительно корневые подпространства матрицы \mathbf{A} , соответствующие различным собственным числам λ_j .

e) Это следует из того, что \mathbf{C}_j являются проекторами на собственные пространства матрицы \mathbf{A} , отвечающие λ_j , причём \mathbf{C}_0 из пункта d) обязательно равно нулю, так как нуль по предположению не является собственным числом матрицы \mathbf{A} .

5.3.11. (Завершение вычисления спектра матрицы переходов $A = A_m$.) Заметим, что (5.3.9.6) вместе с 5.3.10,b) доказывают, что собственные числа матрицы $A = A_m$ содержатся во множестве $0, 2^{-1}, 2^{-2}, \dots, 2^{-m}$. При этом ранги матриц $\mathbf{C}_j^{(m)}$ из (5.3.9.6) не превосходят единицы при $0 \leq j < m - 1$ и двойки при $j = m - 1$. Поэтому кратности собственных чисел 2^{-j} при $1 \leq j \leq m$ не превышают единицы (но в принципе могут быть и нулями), а 2^{-m} может иметь кратность два. С другой стороны, собственных чисел с учётом кратности должно быть $m + 1$ штук, и их сумма равна $\text{Tг } A_m = 1$ согласно (5.3.4.3). Единственный способ, как такое может быть выполнено — это если все эти собственные числа присутствуют в спектре матрицы A_m с максимальной разрешённой кратностью, т.е. 2^{-j} при $1 \leq j < m$ с кратностью один и 2^{-m} с кратностью два. Поскольку это уже даёт $m + 1$ собственное число, ноль не является собственным числом матрицы A_m . Мы доказали, что *собственные числа матрицы переходов A_m — это в точности $\{2^{-j}\}_{1 \leq j \leq m-1}$ с*

кратностью один и 2^{-m} с кратностью два. В частности, матрица A_m невырождена. Кроме того, поскольку матрицы $C_j^{(m)}$ являются проекторами на соответствующие собственные пространства, их ранги должны быть равны кратностям соответствующих собственных чисел, т.е. ранг матрицы $C_j^{(m)}$ равен в точности единице при $0 \leq j \leq m-2$ и двойке при $j = m-1$. Отсюда и из разложений матриц $C_j^{(m)}$ из (5.3.9.5) следует, что вектора \mathbf{v}_j и $\tilde{\mathbf{v}}_m$ образуют собственный базис матрицы A , а \mathbf{u}_j и $\tilde{\mathbf{u}}_m$ — транспонированной матрицы A^T (см. 5.3.12 ниже).

Кроме того, 5.3.10,е) доказывает, что равенство (5.3.9.6) выполнено при всех целых n .

5.3.12. (\mathbf{v}_j и \mathbf{u}_j — собственные вектора и ковектора A .) Заметим, что

$$\sum_{j=0}^{m-1} C_j^{(m)} = \mathbf{E}_{m+1} \quad (5.3.12.1)$$

поскольку мы только что видели, что (5.3.9.6) выполнено и для $n = 0$. Кроме того, разложения (5.3.9.5) позволяют переписать это равенство в виде

$$\mathbf{v}_0 \mathbf{u}_0^T + \cdots + \mathbf{v}_{m-1}^+ \mathbf{u}_{m-1}^T + \tilde{\mathbf{v}}_m \tilde{\mathbf{u}}_m^T = \mathbf{E}_{m+1} \quad (5.3.12.2)$$

т.е. мы разложили единичную матрицу размера $m+1$ в сумму ровно $m+1$ разложимого тензора. Такое может быть, только если все \mathbf{v}_j (вместе со временно переобозначенным $\mathbf{v}_m := \tilde{\mathbf{v}}_m$; напомним, что $\mathbf{v}_{m-1} = \mathbf{v}_{m-1}^+$) образуют базис векторного пространства $V = \mathbb{Q}^{m+1}$, а \mathbf{u}_j — двойственный базис. В частности, должны быть выполнены соотношения ортогональности

$$\mathbf{u}_i^T \mathbf{v}_j = \delta_{ij} \quad \text{для } 0 \leq i, j \leq m \quad (5.3.12.3)$$

где мы снова считаем, что $\mathbf{u}_m = \tilde{\mathbf{u}}_m$ и $\mathbf{v}_m = \tilde{\mathbf{v}}_m$. Более того, теперь разложения (5.3.9.5) означают, что \mathbf{v}_j — базис образа проектора $C_j^{(m)}$, т.е. собственного пространства, соответствующего 2^{-j-1} , при $0 \leq j \leq m-2$, а \mathbf{v}_{m-1}^+ и $\tilde{\mathbf{v}}_m$ — базис собственного пространства, соответствующего 2^{-m} . Иначе говоря, \mathbf{v}_j — это собственный базис матрицы A_m , а \mathbf{u}_j — двойственный к нему собственный базис транспонированной матрицы A_m^T . Если V — матрица со столбцами \mathbf{v}_j , $0 \leq j \leq m$, а U — матрица со столбцами \mathbf{u}_j , то (5.3.12.2) означает, что

$$VU^T = \mathbf{E}_{m+1} \quad (5.3.12.4)$$

т.е. $U = V^{-T}$ (откуда снова следует, что $U^T V = \mathbf{E}_{m+1}$, т.е. (5.3.12.3)), и (5.3.9.6) может быть записано как

$$A_m^n = V D^n U^T = V D^n V^{-1} \quad , \quad \text{где } D = \text{diag}(2^{-1}, 2^{-2}, \dots, 2^{-m}, 2^{-m}) \quad (5.3.12.5)$$

5.3.13. (Интерпретация координат собственных векторов \mathbf{v}_j .) Поскольку вектора \mathbf{v}_j из (5.3.9.1) оказались собственными векторами матрицы A_m , полезно разобраться с тем, каковы их координаты, как их проще всего вычислить, и каково их асимптотическое поведение при $m \rightarrow +\infty$. Начнём с того, что формула (5.3.9.1) очень похожа на формулу (5.2.23.2), задающую кусочно-полиномиальную плотность $p_m(t)$ m -кратной свёртки $\chi_{[-1/2, 1/2]}^{*m}$ равномерного распределения на $[-1/2, 1/2]$:

$$p_m(t) = m \cdot \sum_{k=0}^m \frac{(-1)^k (t + m/2 - k)_+^{m-1}}{k!(m-k)!} \quad (5.3.13.1)$$

Отсюда мы сразу (после замены $t \leftrightarrow -t$ и затем $k \leftrightarrow m/2 - t - k$) получаем, что

$$(\mathbf{v}_0)_t = p_m(-t) = p_m(t) \quad \text{при } t = -\frac{m}{2}, -\frac{m}{2} + 1, \dots, \frac{m}{2} \quad (5.3.13.2)$$

поскольку $p_m(t)$ — четная функция. Более общо, j -кратное дифференцирование формулы (5.3.13.1) даёт

$$(\mathbf{v}_j)_t = \frac{(-1)^j}{j!} p_m^{(j)}(t) \quad (5.3.13.3)$$

при $0 \leq j \leq m-2$ и $-m/2 \leq t \leq m/2$; здесь нам пригодился нормировочный множитель $\binom{m-1}{j}$ из (5.3.9.1), который удачно сократился. При $j = m-1$ ситуация чуть более сложная, так как $(m-1)$ -ая производная функции $(t + m/2 - k)_+^{m-1}$ разрывна в (полу)целых точках, и нам надо выбрать, хотим ли мы использовать левостороннюю или правостороннюю производную, что соответствует началу суммирования с $k = 0$ или $k = 1$ в формуле (5.3.7.1). В итоге получаем

$$(\mathbf{v}_{m-1}^+)_t = \frac{(-1)^{m-1}}{(m-1)!} p_m^{(m-1)}(t+) \quad (5.3.13.4)$$

(для проверки заметим, что $(\mathbf{v}_{m-1}^+)_t = 0$ при $t = m/2$ согласно (5.3.9.1), так что правильный выбор именно таков), т.е. формула (5.3.13.3) верна

и при $j = m - 1$, если условиться использовать правосторонние производные. Аналогично, \mathbf{v}_{m-1}^- возникает при использовании левосторонних производных:

$$(\mathbf{v}_{m-1}^-)_t = \frac{(-1)^{m-1}}{(m-1)!} p_m^{(m-1)}(t-) \quad (5.3.13.5)$$

При этом разность между двумя вариантами $(m-1)$ -ой производной даёт вспомогательный вектор $\tilde{\mathbf{v}}_m = \mathbf{v}_{m-1}^- - \mathbf{v}_{m-1}^+$ из (5.3.9.3):

$$(\tilde{\mathbf{v}}_m)_t = \frac{(-1)^{m/2-t}}{(m-1)!} \binom{m}{m/2-t} = \frac{(-1)^m}{(m-1)!} (p_m^{(m-1)}(t+) - p_m^{(m-1)}(t-)) \quad (5.3.13.6)$$

Таким образом, с точностью до умножения на константу собственный вектор \mathbf{v}_{j+1} — это таблица значений j -ой производной кусочно-полиномиальной функции $p_m(t)$ в целых или полуцелых точках $t = -m/2, -m/2+1, \dots, m/2$. При $j = m-1$ надлежит использовать правосторонние производные, а вспомогательный вектор $\tilde{\mathbf{v}}_m$ есть таблица величин разрывов $(m-1)$ -ой производной функции $p_m(t)$.

5.3.14. (Симметричность собственных векторов \mathbf{v}_j .) Поскольку $p_m(t)$ — чётная функция, мы сразу получаем из (5.3.13.3), что

$$(\mathbf{v}_j)_{-t} = (-1)^j (\mathbf{v}_j)_t \quad \text{при } |t| \leq m/2, 0 \leq j \leq m-2 \quad (5.3.14.1)$$

что неочевидно из формулы (5.3.9.1), хотя и вполне ожидаемо, поскольку матрица A_m коммутирует с «оператором чётности» $P : \mathbf{e}_t \mapsto \mathbf{e}_{-t}$, $P = (\delta_{s,-t})$, а значит, собственные вектора \mathbf{v}_j матрицы A_m , соответствующие простым собственным числам, должны быть и собственными векторами P , т.е. равенство $P\mathbf{v}_j = \pm\mathbf{v}_j$ при $0 \leq j \leq m-2$ было ожидаемо. Что же касается $j = m-1$, там ситуация иная из-за разницы между левосторонними и правосторонними производными, см. (5.3.13.4) и (5.3.13.5). Мы получаем

$$(-1)^{m-1} P\mathbf{v}_{m-1}^+ = \mathbf{v}_{m-1}^- = \mathbf{v}_{m-1}^+ + \tilde{\mathbf{v}}_m \quad (5.3.14.2)$$

$$(-1)^{m-1} P(\mathbf{v}_{m-1}^+ + \tilde{\mathbf{v}}_m) = (-1)^{m-1} P\mathbf{v}_{m-1}^- = \mathbf{v}_{m-1}^+ \quad (5.3.14.3)$$

откуда можно заключить, что

$$P(\mathbf{v}_{m-1}^+ + \tilde{\mathbf{v}}_m/2) = (-1)^{m-1} (\mathbf{v}_m^+ + \tilde{\mathbf{v}}_m/2) \quad (5.3.14.4)$$

$$P\tilde{\mathbf{v}}_m = (-1)^m \tilde{\mathbf{v}}_m \quad (5.3.14.5)$$

Иначе говоря, если мы хотим получить совместный собственный базис коммутирующих матриц A_m и P , нам надлежит в качестве собственных векторов, соответствующих собственному числу 2^{-m} матрицы A_m , использовать

$$\mathbf{v}'_{m-1} = \frac{\mathbf{v}_{m-1}^+ + \mathbf{v}_{m-1}^-}{2} = \mathbf{v}_{m-1}^+ + \frac{\tilde{\mathbf{v}}_m}{2} \quad (5.3.14.6)$$

$$\mathbf{v}'_m = \mathbf{v}_{m-1}^- - \mathbf{v}_{m-1}^+ = \tilde{\mathbf{v}}_m \quad (5.3.14.7)$$

а также

$$\mathbf{u}'_{m-1} = \mathbf{u}_{m-1} \quad (5.3.14.8)$$

$$\mathbf{u}'_m = \tilde{\mathbf{u}}_m - \frac{\mathbf{u}_{m-1}}{2} \quad (5.3.14.9)$$

чтобы сохранить разложение $\mathbf{C}_{m-1}^{(m)} = \mathbf{v}'_{m-1} \mathbf{u}'_{m-1}{}^T + \mathbf{v}'_m \mathbf{u}'_m{}^T$ из (5.3.9.5), обеспечивающее двойственность базисов.

Тогда $P\mathbf{v}'_{m-1} = (-1)^{m-1}\mathbf{v}'_{m-1}$ и $P\mathbf{v}'_m = (-1)^m\mathbf{v}'_m$, откуда следует $P\mathbf{u}'_{m-1} = (-1)^{m-1}\mathbf{u}'_{m-1}$ и $P\mathbf{u}'_m = (-1)^m\mathbf{u}'_m$ для двойственного базиса. Вектор \mathbf{v}'_{m-1} соответствует выбору полусуммы левосторонней и правосторонней производной в точках разрыва, примерно как это обычно делается в теории рядов Фурье. У нас возникает соблазн переобозначить «основной» собственный вектор \mathbf{v}_{m-1} , выбрав его равным \mathbf{v}'_{m-1} , а не \mathbf{v}_{m-1}^+ , и оставить вспомогательный $\tilde{\mathbf{v}}_m$, возможно, переобозначив его \mathbf{v}_m . Тогда $\{\mathbf{v}_j\}_{0 \leq j \leq m}$ будет совместным собственным базисом A_m и P , причём $P\mathbf{v}_j = (-1)^j\mathbf{v}_j$ для всех j .

5.3.15. (Интерпретация \mathbf{v}'_{m-1} и \mathbf{v}'_m как усреднённых производных.) Отметим, что \mathbf{v}'_{m-1} и $\mathbf{v}'_m = \tilde{\mathbf{v}}_m = \mathbf{v}_m$ также допускают интерпретацию как производные $p_m(t)$, усреднённые по маленьким отрезкам с центром в t :

$$(\mathbf{v}'_{m-1})_t = \frac{2}{\varepsilon} \lim_{\varepsilon \rightarrow 0} \int_{t-\varepsilon}^{t+\varepsilon} \frac{p_m^{(m-1)}(t)}{(m-1)!} dt \quad (5.3.15.1)$$

$$(\mathbf{v}'_m)_t = \lim_{\varepsilon \rightarrow 0} \int_{t-\varepsilon}^{t+\varepsilon} \frac{p_m^{(m)}(t)}{(m-1)!} dt \quad (5.3.15.2)$$

где последний интеграл надлежит понимать как интеграл обобщённых функций. Кроме того, у этих двух векторов «правильная» чётность, соответствующая $(m-1)$ -ой и m -ой производным чётной функции $p_m(t)$.

5.3.16. (Последствия симметричности \mathbf{v}_j и \mathbf{u}_j для коэффициентов c_j формулы (5.3.1.2).) Заметим, что коэффициенты c_j формулы (5.3.1.2) для точного вычисления вероятности возврата в начальное состояние за n шагов — это числа

$$c_j = (\mathbf{v}_{j-1})_0 \cdot (\mathbf{u}_{j-1})_0 \quad (5.3.16.1)$$

Поскольку $P\mathbf{v}_{j-1} = -\mathbf{v}_{j-1}$ для чётных j согласно **5.3.14**, мы получаем $(\mathbf{v}_{j-1})_0 = 0$ и как следствие $c_j = 0$ для всех чётных j в (5.3.1.2).

5.3.17. (Эффективное вычисление всех собственных векторов.) Поскольку производные многочлена — это (с точностью до умножения на факториал) его коэффициенты после замены переменной, можно эффективно вычислить все собственные вектора \mathbf{v}_j с помощью следующего алгоритма, строящего последовательность многочленов $P_t(X) \in \mathbb{Z}[X]$, таких, что $P_t(x) = (m-1)! \cdot p_m(t+x)$ при $0 < x < 1$; коэффициенты этих многочленов сразу дают $(\mathbf{v}_j)_t$:

$$S0) P_{-m/2-1}(X) \leftarrow 0, t \leftarrow -m/2$$

$$S1) c_t \leftarrow (-1)^{m/2+t} \binom{m}{m/2+t}, (\tilde{\mathbf{v}}_m)_t = (-1)^m c_t / (m-1)!$$

$$S2) P_t(X) \leftarrow P_{t-1}(X+1) + c_t X^{m-1}$$

$$S3) (\mathbf{v}_j)_t = \frac{(-1)^j}{(m-1)!} [X^j] P_t(X) \text{ для } j = 0 \dots m-1. \text{ Затем } t \leftarrow t+1, \text{ и если } t \leq m/2, \text{ вернуться к шагу S1).}$$

Здесь $[X^j]P_t(X)$ обозначает коэффициент при X^j в $P_t(X)$. Самый трудоёмкий шаг в этом алгоритме — это S2, который требует $O(m^2)$ арифметических операций (целочисленных сложений) для замены переменной в многочлене. Если мы хотим вычислить симметризованный вектор \mathbf{v}'_{m-1} вместо \mathbf{v}_{m-1}^+ , надо слегка исправить S3), вычитая $c_t/2$ из $[X^j]P_t(X)$ при $j = m-1$.

5.3.18. (Связь собственных векторов \mathbf{v}_j с многочленами Эрмита.) Заметим, что $p_m(t)$ — это плотность m -кратной свёртки $\chi_{[-1/2, 1/2]}^{*m}$, и потому по центральной предельной теореме $p_m(t)$ приблизительно равно плотности $\rho_\sigma(t)$ нормального распределения $\mathcal{N}(0, m/12)$, где $\sigma = \sqrt{m/12}$:

$$p_m(t) \approx \rho_\sigma(t) = \sqrt{\frac{6}{\pi m}} e^{-6t^2/m} \quad (5.3.18.1)$$

Поскольку $(\mathbf{v}_j)_t$ задаются значениями j -ой производной $(-1)^j p_m^{(j)}(t)/j!$, мы можем предположить, что

$$(\mathbf{v}_j)_t \approx \frac{(-1)^j}{j!} \rho_\sigma^{(j)}(t) \quad (5.3.18.2)$$

Однако j -ая производная $e^{-t^2/2}$ равна $(-1)^j h_j(t) e^{-t^2/2}$, где $h_j(t)$ — многочлен Эрмита степени j . Поэтому вектор \mathbf{v}_j (по крайней мере, при малых j) имеет отношение к многочлену Эрмита $h_j(t)$, или скорее к его отмасштабированной версии $h_j^{[m/12]}(t)$:

$$(\mathbf{v}_j)_t \approx \frac{1}{j! \sqrt{2\pi}} \left(\frac{m}{12}\right)^{-j-1/2} h_j^{[m/12]}(t) e^{-6t^2/m} \quad (5.3.18.3)$$

где

$$h_n^{[\sigma^2]}(X) = \sigma^n h_n(\sigma^{-1}X) = \sum_{r=0}^{\lfloor n/2 \rfloor} \frac{(-\sigma^2)^r n!}{2^r r! (n-2r)!} X^{n-2r} \quad (5.3.18.4)$$

многочлены Эрмита, отмасштабированные так, чтобы быть унитарными и ортогональными относительно $\mathcal{N}(0, \sigma^2)$.

5.3.19. (Предполагаемая связь собственных ковекторов \mathbf{u}_j с многочленами Эрмита.) Напомним, что собственные ковектора \mathbf{u}_j образуют двойственный базис и потому связаны с \mathbf{v}_k соотношениями ортогональности $\mathbf{u}_j^T \mathbf{v}_k = \delta_{jk}$, см. (5.3.12.3). Если представить себе, что координаты \mathbf{u}_j также приблизительно задаются значениями некоторой гладкой функции $u_j(t)$ в точках $-m/2, \dots, m/2$, то соотношения ортогональности могут быть записаны как

$$\begin{aligned} \delta_{jk} &= \sum_{t=-m/2}^{m/2} \frac{(-1)^k}{k!} p_m^{(k)}(t) u_j(t) \approx \int_{\mathbb{R}} \frac{(-1)^k}{k!} p_m^{(k)}(t) u_j(t) dt \\ &\approx \frac{1}{k! \sqrt{2\pi}} \left(\frac{m}{12}\right)^{-k-1/2} \int_{\mathbb{R}} h_k^{[m/12]}(t) u_j(t) e^{-6t^2/m} dt \end{aligned} \quad (5.3.19.1)$$

согласно (5.3.18.3), т.е. функции $u_j(t)$ должны быть приблизительно ортогональны функциям $h_k^{[m/12]}(t) e^{-6t^2/m}$ относительно меры Лебега, или, что одно и то же, многочленам Эрмита $h_k^{[m/12]}(t)$ относительно $\mathcal{N}(0, m/12)$. Хорошо известно, что для обычных многочленов Эрмита $(h_j(t), h_k(t))_{L^2(d_\gamma)} = \delta_{jk} k!$, где γ — стандартная гауссова мера на \mathbb{R} , откуда

$$\int_{\mathbb{R}} h_j^{[\sigma^2]}(t) h_k^{[\sigma^2]}(t) \rho_\sigma(t) dt = \delta_{jk} k! \sigma^{2k} \quad (5.3.19.2)$$

для масштабированных многочленов Эрмита $h_n^{[\sigma^2]}(t)$ из (5.3.18.4). Применяя это равенство для $\sigma^2 = m/2$ и сравнивая его с (5.3.19.1), мы получаем следующую формулу, предположительно верную для компонент \mathbf{u}_j с маленькими индексами j :

$$(\mathbf{u}_j)_t \approx h_j^{[m/2]}(t) \quad \text{для } t = -m/2, -m/2 + 1, \dots, m/2 \quad (5.3.19.3)$$

Иначе говоря, мы вправе ожидать, что $(\mathbf{u}_j)_t$ ведут себя приблизительно как значения в точках $-m/2, \dots, m/2$ некоторого унитарного многочлена степени j , близкого к многочлену Эрмита $h_j^{[m/2]}(t)$.

5.3.20. (Альтернативная формула для ковекторов \mathbf{u}_j .) Обратимся теперь к более тщательному изучению ковекторов \mathbf{u}_j , заданных несколько непонятной формулой (5.3.9.2) с числами Стирлинга:

$$(\mathbf{u}_{m-1-j})_s = \binom{m-1}{j}^{-1} \sum_{\ell=j}^{m-1} (-1)^{m-\ell-1} \begin{bmatrix} m-1 \\ \ell \end{bmatrix} \binom{\ell}{j} \left(\frac{m}{2} + s - 1\right)^{\ell-j} \quad (5.3.20.1)$$

при $0 \leq j \leq m-2$. Заметим, что это выражение — унитарный многочлен степени $m-1-j$ по s (благодаря нормировочному множителю $\binom{m-1}{j}^{-1}$). Обозначим через

$$\tilde{\mathbf{u}}_j := \binom{m-1}{j} \mathbf{u}_j \quad \text{при } 0 \leq j \leq m-1 \quad (5.3.20.2)$$

версию собственных ковекторов без нормировочного множителя. Переобозначим s буквой X , домножим получившееся выражение на Y^j и просуммируем по всем j :

$$\begin{aligned} \sum_{j=0}^{m-1} (\tilde{\mathbf{u}}_{m-1-j})_X Y^j &= \sum_{j=0}^{m-1} \sum_{\ell=j}^{m-1} (-1)^{m-\ell-1} \begin{bmatrix} m-1 \\ \ell \end{bmatrix} \binom{\ell}{j} (X + m/2 - 1)^{\ell-j} Y^j \\ &= \sum_{\ell=0}^{m-1} (-1)^{m-\ell-1} \begin{bmatrix} m-1 \\ \ell \end{bmatrix} (X + Y + m/2 - 1)^\ell \\ &= (X + Y + m/2 - 1)^{m-1} \end{aligned} \quad (5.3.20.3)$$

Отсюда мы заключаем, что

$$(\tilde{\mathbf{u}}_{m-1-j})_s = [Y^j](Y + s + m/2 - 1)^{m-1} = [Y^j] \prod_{k=s-m/2+1}^{s+m/2-1} (Y + k) \quad (5.3.20.4)$$

и

$$(\mathbf{u}_{m-1-j})_s = \binom{m-1}{j}^{-1} \cdot [Y^j] \prod_{k=s-m/2+1}^{s+m/2-1} (Y+k) \quad (5.3.20.5)$$

Из этой формулы сразу следует, например, что

$$\mathbf{u}_{m-1} = \tilde{\mathbf{u}}_{m-1} = (m-1)! (\mathbf{e}_{m/2} + (-1)^{m-1} \mathbf{e}_{-m/2}) \quad (5.3.20.6)$$

где \mathbf{e}_s — стандартные базисные вектора, откуда ввиду (5.3.14.8)

$$\mathbf{u}'_{m-1} = \mathbf{u}_{m-1} = (m-1)! (\mathbf{e}_{m/2} + (-1)^{m-1} \mathbf{e}_{-m/2}) \quad (5.3.20.7)$$

$$\mathbf{u}'_m = \tilde{\mathbf{u}}_m - \frac{\mathbf{u}_{m-1}}{2} = \frac{(m-1)!}{2} (\mathbf{e}_{m/2} + (-1)^m \mathbf{e}_{-m/2}) \quad (5.3.20.8)$$

Кроме того, (5.3.20.5) при $j = m-1$ даёт

$$(\mathbf{u}_0)_s = (\tilde{\mathbf{u}}_0)_s = 1 \quad (5.3.20.9)$$

Впрочем, последнее равенство непосредственно следует и из (5.3.20.1).

5.3.21. (Эффективный алгоритм для вычисления всех коекторов.) Заметим, что (5.3.20.4) может использоваться для очень эффективного вычисления всех $\tilde{\mathbf{u}}_j$ или \mathbf{u}_j , т.е. матрицы U . В самом деле, пусть $Q_s(Y) := \prod_{k=s-m/2+1}^{s+m/2-1} (Y+k)$. Вычислим $Q_{-m/2}(Y) = \prod_{k=1}^{m-1} (Y-k)$ непосредственно, и затем будем последовательно вычислять

$$Q_s(Y) = \frac{(Y+s+m/2-1)Q_{s-1}(Y)}{Y+s-m/2} \quad (5.3.21.1)$$

при $s = -m/2+1, \dots, m/2$, запоминая каждый раз коэффициенты $Q_s(Y)$ в s -ую строку матрицы U согласно (5.3.20.5). Недостающий собственный вектор $\tilde{\mathbf{u}}_m$ или \mathbf{u}'_m может быть затем вычислен по (5.3.9.4) или (5.3.20.8). Отметим, что также верно, что $Q_s(Y) = Q_{s-1}(Y+1)$, но это гораздо менее эффективно с вычислительной точки зрения, поскольку требует $O(m^2)$ операций вместо $O(m)$. Кроме того, рекуррентное соотношение (5.3.21.1) очень похоже на то, что используется при вычислении матрицы Кравчука: там надо начинать с многочлена $(1-Y)^m$ и на каждом шаге умножать его на $(1+Y)/(1-Y)$.

5.3.22. (Универсальные многочлены $L_n(m, X)$, задающие компоненты собственных ковекторов.) Отметим, что компоненты $\tilde{\mathbf{u}}_j$ при $0 \leq j \leq m-1$ — это значения некоторого многочлена $\tilde{L}_j(m, X)$ степени $j-1$ относительно X в точках $-m/2, -m/2+1, \dots, m/2$, а компоненты \mathbf{u}_j — это значения $L_j(m, X) := \binom{m-1}{j}^{-1} \tilde{L}_j(m, X)$. Посмотрим на эти многочлены повнимательнее, особенно при маленьких j . Согласно (5.3.20.1),

$$\tilde{L}_n(m, X) = \sum_{\ell=0}^n (-1)^\ell \begin{bmatrix} m-1 \\ m-1-\ell \end{bmatrix} \binom{m-1-\ell}{n-\ell} \left(X + \frac{m}{2} - 1\right)^{n-\ell} \quad (5.3.22.1)$$

и равенство (5.3.20.3) приобретает вид

$$\sum_{n=0}^{m-1} \tilde{L}_n(m, X) Y^{m-1-n} = (X + Y + m/2 - 1)^{m-1} \quad (5.3.22.2)$$

Отметим, что (5.3.22.1) определяет $\tilde{L}_n(m, X)$ как многочлен от X для всех $m \in \mathbb{N}$ и $n \in \mathbb{N}_0$, даже если $n \geq m$, однако $\tilde{L}_n(m, X) = 0$ при $n \geq m$, потому что тогда в каждом слагаемом формулы (5.3.22.1) обращается в ноль либо число Стирлинга $\begin{bmatrix} m-1 \\ m-1-\ell \end{bmatrix}$ (при $\ell \geq m$), либо биномиальный коэффициент $\binom{m-1-\ell}{n-\ell}$ (при $\ell \leq m-1$).

Хорошо известно, что $\begin{bmatrix} x \\ x-\ell \end{bmatrix}$ при фиксированном ℓ является многочленом степени 2ℓ относительно x . Например, $\begin{bmatrix} x \\ x \end{bmatrix} = 1$, $\begin{bmatrix} x \\ x-1 \end{bmatrix} = \binom{x}{2} = x(x-1)/2$, $\begin{bmatrix} x \\ x-2 \end{bmatrix} = \frac{3x-1}{4} \binom{x}{3}$, $\begin{bmatrix} x \\ x-3 \end{bmatrix} = \binom{x}{2} \binom{x}{4}$. Более общо,

$$\begin{bmatrix} x \\ x-n \end{bmatrix} = \sum_{k=0}^n \left\langle \begin{matrix} n \\ k \end{matrix} \right\rangle \binom{x+k}{2n} \quad (5.3.22.3)$$

где $\left\langle \begin{matrix} n \\ k \end{matrix} \right\rangle$ — эйлеровы числа второго порядка: $\left\langle \begin{matrix} 0 \\ k \end{matrix} \right\rangle = \delta_{k0}$, $\left\langle \begin{matrix} n \\ k \end{matrix} \right\rangle = (k+1) \left\langle \begin{matrix} n-1 \\ k \end{matrix} \right\rangle + (2n-k-1) \left\langle \begin{matrix} n-1 \\ k-1 \end{matrix} \right\rangle$ при $n \geq 1$. Отметим, что формула (5.3.22.3) выполнена для всех целых $x \geq 0$, даже если $x < n$; в этом случае она даёт правильное (нулевое) значение.

Воспользуемся (5.3.22.3) для $x = m-1$. Тогда из (5.3.22.1) немедленно следует, что $\tilde{L}_n(m, X)$ — многочлен с рациональными коэффициентами от двух переменных m и X . Более того, $\tilde{L}_n(m, X)$ обращается в ноль при подстановке целых значений $m = 1, 2, \dots, n$, и потому многочлен $\tilde{L}_n(m, X)$ делится на $\binom{m-1}{n}$. Отсюда следует, что $L_n(m, X) =$

$\binom{m-1}{n}^{-1} \tilde{L}_n(m, X)$ — также многочлен от m и X (а не всего лишь унитарный многочлен степени n от X , коэффициенты которого — рациональные функции от m), и мы можем вычислить $\tilde{L}_n(m, X)$, а затем и $L_n(m, X)$ при маленьких n , например, с помощью системы компьютерной алгебры:

$$L_0(m, X) = 1 \quad (5.3.22.4)$$

$$L_1(m, X) = X \quad (5.3.22.5)$$

$$L_2(m, X) = X^2 - \frac{m}{12} \quad (5.3.22.6)$$

$$L_3(m, X) = X^3 - \frac{m}{4}X \quad (5.3.22.7)$$

$$L_4(m, X) = X^4 - \frac{m}{2}X^2 + \frac{m(5m+2)}{240} \quad (5.3.22.8)$$

$$L_5(m, X) = X^5 - \frac{5m}{6}X^3 + \frac{m(5m+2)}{48}X \quad (5.3.22.9)$$

$$L_6(m, X) = X^6 - \frac{5m}{4}X^4 + \frac{m(5m+2)}{16}X^2 - \frac{m(35m^2+42m+16)}{4032} \quad (5.3.22.10)$$

$$L_7(m, X) = X^7 - \frac{7m}{4}X^5 + \frac{7m(5m+2)}{48}X^3 - \frac{m(35m^2+42m+16)}{576}X \quad (5.3.22.11)$$

Видно, что многочлены $L_n(m, X)$ представляют из себя некоторые дискретные приближения к многочленам Эрмита $h_n^{[m/12]}(X)$, наподобие многочленов Кравчука (ортогональных многочленов относительно биномиального распределения).

5.3.23. (Многочлены $L_n(m, X)$ задают \mathbf{u}_n при $0 \leq n < m$, но не $\tilde{\mathbf{u}}_m$.) Таким образом, координаты собственных ковекторов \mathbf{u}_j при $0 \leq j \leq m-1$ действительно являются значениями некоторых универсальных многочленов степени j , в полном согласии с **5.3.19**:

$$(\mathbf{u}_j)_s = L_j(m, s) \quad \text{при } 0 \leq j \leq m-1, s = -m/2, -m/2+1, \dots, m/2 \quad (5.3.23.1)$$

Отметим во избежание недоразумений, что оставшийся «вспомогательный» собственный ковектор $\tilde{\mathbf{u}}_m$ или его симметричная версия \mathbf{u}'_m не задаются значениями $L_m(m, X)$. Впрочем, эти два ковектора обладают только одной или двумя ненулевыми компонентами и легко находятся по формуле (5.3.9.4) или (5.3.20.8).

5.3.24. (Многочлены $L_n(m, X)$ не являются последовательностью ортогональных многочленов.) Отметим, что многочлены $L_n(m, X)$ не являются ортогональными ни с каким весом, какое бы $m \in \mathbb{R}$ не было бы зафиксировано. В этом плане они принципиально отличаются от многочленов Кравчука. В самом деле, $(L_4(m, X) \bmod L_3(m, X)) \bmod L_2(m, X) = L_4(m, X) - XL_3(m, X) + \frac{m}{4}L_2(m, X) = \frac{m}{120} \neq 0$ при $m \neq 0$, а для ортогональных многочленов должен был бы получиться ноль. При $m = 0$ многочлен $L_2(0, X) = X^2$ также не может быть ортогонален $L_0(0, X) = 1$ ни с каким весом.

5.3.25. (Чётность многочленов $L_n(m, X)$.) Проверим, что многочлены $L_n(m, X)$ четны (относительно X) при чётном n , и нечётны при нечётном:

$$L_n(m, -X) = (-1)^n L_n(m, X) \quad \text{для всех } n \in \mathbb{N}_0 \quad (5.3.25.1)$$

Достаточно проверить это тождество многочленов для бесконечного количества конкретных значений m , например, для всех целых $m \geq n+1$. В этом случае достаточно проверить его для $\tilde{L}_n(m, X)$. Однако многочлен

$$\sum_{n=0}^{m-1} \tilde{L}_n(m, X) Y^{m-n-1} = \prod_{t=-m/2+1}^{m/2-1} (X + Y + t) \quad (5.3.25.2)$$

из (5.3.22.2) умножается на $(-1)^{m-1}$ при одновременной замене $X \leftrightarrow -X$ и $Y \leftrightarrow -Y$. Отсюда получаем желаемое равенство $\tilde{L}_n(m, -X) = (-1)^n \tilde{L}_n(m, X)$ для всех целых $m \geq n+1$.

5.3.26. («Формула Родригеса» для $L_n(m, X)$.) Отметим, что согласно формуле Тейлора для многочленов тождество (5.3.25.2) равносильно

$$\tilde{L}_n(m, X) = \frac{1}{(m-n-1)!} \left(\frac{d}{dX} \right)^{m-n-1} \prod_{t=-m/2+1}^{m/2-1} (X+t) \quad (5.3.26.1)$$

или, поскольку $L_n(m, X) = \tilde{L}_n(m, X) / \binom{m-1}{n}$,

$$L_n(m, X) = \frac{n!}{(m-1)!} \left(\frac{d}{dX} \right)^{m-n-1} \prod_{t=-m/2+1}^{m/2-1} (X+t) \quad (5.3.26.2)$$

для всех целых $m \geq n+1$.

5.3.27. (Многочлены $L_n(m, X)$ образуют последовательность Аппеля.) Отметим, что из (5.3.26.2) немедленно следует, что *унитарные многочлены* $L_n(m, X)$ образуют последовательность Аппеля:

$$L'_n(m, X) = \frac{d}{dX} L_n(m, X) = nL_{n-1}(m, X) \quad (5.3.27.1)$$

В этом плане многочлены $L_n(m, X)$ лучше приближают многочлены Эрмита, чем многочлены Кравчука, поскольку многочлены Эрмита тоже образуют последовательность Аппеля. Более того, из этих двух свойств многочленов Эрмита — ортогональности и того, что они образуют последовательность Аппеля — невозможно сохранить более одного, поскольку последовательность многочленов Эрмита — единственная (с точностью до аффинной замены переменной) последовательность многочленов, являющаяся одновременно ортогональной (относительно какой-нибудь положительной меры) и последовательностью Аппеля.

5.3.28. (Центральные разности многочленов $L_n(m, X)$.) Помимо (5.3.27.1), многочлены $L_n(m, X)$ удовлетворяют его дискретному аналогу с центральными конечными разностями вместо производной:

$$\nabla L_n(m, X) = L_n\left(m, X + \frac{1}{2}\right) - L_n\left(m, X - \frac{1}{2}\right) = nL_{n-1}(m-1, X) \quad (5.3.28.1)$$

Достаточно проверить это тождество после подстановки всевозможных целых $m \geq n + 1$. В этом случае оно равносильно

$$\tilde{L}_n\left(m, X + \frac{1}{2}\right) - \tilde{L}_n\left(m, X - \frac{1}{2}\right) = (m-1)\tilde{L}_{n-1}(m-1, X) \quad (5.3.28.2)$$

что немедленно проверяется с помощью производящей функции (5.3.25.2).

5.3.29. (Многочлены $L_n(m, X)$ при $m = 0$.) Докажем, что

$$L_n(0, X) = X^n \quad (5.3.29.1)$$

или, что равносильно,

$$\tilde{L}_n(0, X) = \binom{-1}{n} X^n = (-X)^n \quad (5.3.29.2)$$

Для этого применим формулу (5.3.22.1) при $m = 0$. Возникающие в ней числа Стирлинга $\left[\begin{smallmatrix} -1 \\ -\ell-1 \end{smallmatrix} \right]$ должны быть определены по формуле (5.3.22.3),

которая даёт

$$\begin{bmatrix} -1 \\ -n-1 \end{bmatrix} = \sum_{k=0}^n \left\langle \begin{matrix} n \\ k \end{matrix} \right\rangle \binom{k-1}{2n} = \left\langle \begin{matrix} n \\ 0 \end{matrix} \right\rangle \binom{-1}{2n} = \left\langle \begin{matrix} n \\ 0 \end{matrix} \right\rangle = 1 \quad (5.3.29.3)$$

Подстановка этих значений в (5.3.22.1) даёт

$$\tilde{L}_n(0, X) = \sum_{\ell=0}^n (-1)^\ell \binom{-1-\ell}{n-\ell} (X-1)^{n-\ell} \quad (5.3.29.4)$$

Поскольку $\binom{-1-\ell}{n-\ell} = (-1)^{n-\ell} \binom{n}{\ell}$, эта сумма равна $(-1)^n X^n$ по биному.

5.3.30. (Свободные члены $L_n(m, X)$.) Пусть

$$a_r(m) := L_{2r}(m, 0) \quad (5.3.30.1)$$

— многочлены от m , являющиеся свободными членами многочленов L_n с чётными индексами. Например,

$$a_0(m) = 1 \quad (5.3.30.2)$$

$$a_1(m) = -\frac{m}{12} \quad (5.3.30.3)$$

$$a_2(m) = \frac{m(5m+2)}{240} \quad (5.3.30.4)$$

$$a_3(m) = -\frac{m(35m^2+42m+16)}{4032} \quad (5.3.30.5)$$

$$a_4(m) = \frac{m(5m+4)(35m^2+56m+36)}{34560} \quad (5.3.30.6)$$

$$a_5(m) = -\frac{m(385m^4+1540m^3+2684m^2+2288m+768)}{101376} \quad (5.3.30.7)$$

Поскольку $L_{2r+1}(m, 0) = 0$ согласно (5.3.25.1), и L_n образуют последовательность Аппеля (см. **5.3.27**), мы можем восстановить все L_n по последовательности их свободных членов $\{a_r(m)\}$:

$$L_n(m, X) = \sum_{\nu=0}^{\lfloor n/2 \rfloor} \binom{n}{2\nu} a_\nu(m) X^{n-2\nu} \quad (5.3.30.8)$$

Таким образом, если мы научимся вычислять многочлены $a_r(m)$, мы тем самым определим все $L_n(m, X)$.

5.3.31. (Рекуррентная формула для $a_r(m)$.) Мы можем вывести рекуррентную формулу для многочленов $a_r(m)$ следующим образом. Подставим $X = 0$, $n = 2r + 1$ в формулу (5.3.28.1):

$$L_{2r+1}\left(m, \frac{1}{2}\right) - L_{2r+1}\left(m, \frac{1}{2}\right) = (2r + 1)L_{2r}(m - 1, 0) = (2r + 1)a_r(m - 1) \quad (5.3.31.1)$$

Теперь выразим левую сторону этого равенства с помощью (5.3.30.8):

$$\begin{aligned} (2r + 1)a_r(m - 1) &= \sum_{\nu=0}^r \binom{2r + 1}{2\nu} a_\nu(m) 4^{\nu-r} \\ &= (2r + 1)a_r(m) + \sum_{\nu=0}^{r-1} \binom{2r + 1}{2\nu} 4^{\nu-r} a_\nu(m) \end{aligned} \quad (5.3.31.2)$$

откуда получаем разностное уравнение

$$a_r(m) - a_r(m - 1) = -\frac{1}{2r + 1} \sum_{\nu=0}^{r-1} \binom{2r + 1}{2\nu} 4^{\nu-r} a_\nu(m) \quad (5.3.31.3)$$

позволяющее найти $a_r(m)$, если уже известны все $\{a_\nu(m)\}_{0 \leq \nu \leq r-1}$, поскольку $a_r(0) = 0$ при $r \geq 1$ по (5.3.29.1).

5.3.32. (Степень и старший коэффициент $a_r(m)$.) Отметим, что из (5.3.31.3) и $a_0(m) = 1$ по индукции немедленно следует, что $a_r(m)$ — многочлен степени (в точности) r . Более того, мы можем вычислить его старший коэффициент:

$$\begin{aligned} [m^r]a_r(m) &= \frac{1}{r} [m^{r-1}](a_r(m) - a_r(m - 1)) \\ &= -\frac{1}{r(2r + 1)} \binom{2r + 1}{2r - 2} 4^{-1} [m^{r-1}]a_{r-1}(m) \end{aligned} \quad (5.3.32.1)$$

откуда

$$[m^r]a_r(m) = -\frac{2r - 1}{12} [m^{r-1}]a_{r-1}(m) \quad (5.3.32.2)$$

и

$$a_r(m) = (-1)^r \frac{(2r - 1)!!}{12^r} m^r + O(m^{r-1}) \quad (5.3.32.3)$$

Для сравнения, свободные члены многочленов Эрмита $h_n^{[m/12]}(X)$ задаются выражениями $h_{2r}^{[m/12]}(0) = (2r - 1)!! \cdot (-m/12)^r$, т.е. если оставить от $a_r(m)$ только члены при старшей степени m^r , многочлены $L_n(m, X)$ превращаются в многочлены Эрмита $h_n^{[m/12]}(X)$, что уточняет приближенное равенство (5.3.19.3).

5.4 Расширенные цепи Маркова

Заметим, что мы могли бы не ограничивать с самого начала множество состояний цепи Маркова из предыдущего пункта $m + 1$ числами $-m/2, -m/2 + 1, \dots, m/2$, а могли бы разрешить более широкое множество состояний $-M/2 \dots M/2$, где $M \geq m$ — произвольное целое число той же чётности, что и m . Посмотрим, что изменяется при таком расширении множества состояний.

5.4.1. (Распространение результатов на более широкое множество состояний.) В действительности наша цепь Маркова очень быстро убегает на бесконечность из состояний s с $|s| > m/2$, так что новые состояния привносят в матрицу A_m огромную нильпотентную часть, но никак не меняют её ненулевые собственные числа и их кратность.

Чтобы убедиться в этом, зафиксируем какое-нибудь $M \geq m$ как выше, и пусть \tilde{A}_m — матрица переходов цепи Маркова с расширенным множеством состояний. Таким образом, \tilde{A}_m — это квадратная матрица порядка $M + 1$, содержащая A_m в качестве подматрицы. Элементы $(\tilde{A}_m^n)_{ts}$ вычисляются с помощью ровно той же формулы (5.3.7.1), которая, однако, теперь применима, только если $N = 2^n \geq M$ (а не m). Поэтому мы можем определить матрицы $C_j^{(m)}$, $0 \leq j \leq m-1$, и вектора $\mathbf{v}_j, \tilde{\mathbf{v}}_m, \mathbf{u}_j, \tilde{\mathbf{u}}_m$ ровно так же, как и раньше, но с более широкими множествами индексов координат. Единственное существенное отличие — формулу (5.3.9.4) для $\tilde{\mathbf{u}}_m$ теперь надо записывать как

$$(\tilde{\mathbf{u}}_m)_s = (\mathbf{u}_{m-1})_s \cdot [s \geq m/2] = (\mathbf{u}_{m-1})_s \cdot [s > 0] \quad (5.4.1.1)$$

где мы больше не можем пользоваться тем, что $[s \geq m/2] = \delta_{s, m/2}$, но зато воспользовались тем, что $(\mathbf{u}_{m-1})_s = 0$ при $0 \leq s < m/2$, и потому условие $s \geq m/2$ можно заменить на более красивое условие $s > 0$. Симметричная версия $\mathbf{u}'_m = \tilde{\mathbf{u}}_m - \mathbf{u}_{m-1}/2$ будет поэтому теперь равна

$$(\mathbf{u}_m)_s = (\mathbf{u}'_m)_s = \frac{\text{sgn}(s)}{2} (\mathbf{u}_{m-1})_s \quad (5.4.1.2)$$

У ковекторов \mathbf{u}_j возникает много новых ненулевых компонент, которые могут быть вычислены с помощью тех же универсальных многочленов

$L_j(m, X)$ из 5.3.22:

$$(\mathbf{u}_j)_s = L_j(m, s) \quad \text{для } 0 \leq j \leq m-1 \text{ и всех } s \equiv \frac{m}{2} \pmod{1} \quad (5.4.1.3)$$

$$(\mathbf{u}_m)_s = \frac{\text{sgn}(s)}{2} L_{m-1}(m, s) \quad \text{для тех же } s \quad (5.4.1.4)$$

Напротив, все новые компоненты векторов \mathbf{v}_j окажутся равны нулю, а старые по-прежнему будут задаваться формулами (5.3.13.3), которые, впрочем, дают правильное нулевое значение и для новых компонент. Разложения (5.3.9.6) и (5.3.9.5) для \tilde{A}_m^n и для расширенных матриц $\mathbf{C}_j^{(m)}$ будут по-прежнему верны, и применение 5.3.10 позволяет нам заключить, что собственные числа \tilde{A}_m — это 0 и 2^{-j-1} при $0 \leq j \leq m-1$; кратность 2^{-j-1} равна рангу матрицы $\mathbf{C}_j^{(m)}$, который не мог уменьшиться от расширения, и потому кратность собственного числа 2^{-j-1} равна единице при $0 \leq j < m-1$ и двойке при $j = m-1$. Соответственно, кратность нулевого собственного числа равна $M-m$. Кроме того, (расширенные) вектора \mathbf{v}_j по-прежнему являются собственными векторами, а \mathbf{u}_j — собственными ковекторами матрицы \tilde{A}_m .

5.4.2. (Свойства проектора \mathbf{P} на сумму собственных пространств, соответствующих ненулевым собственным числам.) Пожалуй, самое большое отличие расширенной матрицы \tilde{A}_m от исходной A_m заключается в том, что проектор

$$\mathbf{P} = \sum_{j=0}^{m-1} \mathbf{C}_j^{(m)} = \sum_{j=0}^m \mathbf{v}_j \mathbf{u}_j^T \quad (5.4.2.1)$$

более не равен единичной матрице, а является идемпотентной матрицей ($\mathbf{P}^2 = \mathbf{P}$) ранга $m+1$, задающей проекцию расширенного векторного пространства $\tilde{V} = k^{M+1}$ на сумму собственных подпространств, отвечающих ненулевым собственным числам матрицы \tilde{A}_m . Впрочем, соотношения ортогональности $\mathbf{u}_j^T \mathbf{v}_k = \delta_{jk}$ сохраняются, например, потому что вектора \mathbf{v}_j в разложении (5.4.2.1) не перестали быть линейно независимыми после добавления дополнительных компонент, равно как и \mathbf{u}_j , откуда и из идемпотентности \mathbf{P} следует ортогональность (либо можно заметить, что новые компоненты \mathbf{v}_k равны нулю, а старые компоненты \mathbf{u}_j не изменились, так что не изменилось и скалярное произведение). Заметим, что все новые компоненты собственных векторов \mathbf{v}_j равны нулю; поэтому образ \mathbf{P} , т.е. сумма всех собственных подпространств, соответствующих ненулевым собственным числам, есть $(m+1)$ -мерное пространство всех

векторов, все новые компоненты которых равны нулю. Таким образом, проектор \mathbf{P} «сжимает» расширенные вектора \mathbf{y} до векторов, все ненулевые компоненты которых имеют индексы $|s| \leq m/2$. Это «сжатие» можно описать следующим образом: компоненты \mathbf{y}_t большого вектора \mathbf{y} суммируются с полиномиальными весами $(\mathbf{u}_j)_t = L_j(m, t)$ (за исключением $j = m - 1$, для которого формула не полиномиальная), и затем полученные коэффициенты c_j домножаются на кусочно-полиномиальные функции $(-1)^j p_m^{(j)}(t)/j!$ и суммируются. Итоговая кусочно-полиномиальная функция вычисляется в точках $t = -m/2, -m/2 + 1, \dots, m/2$, что и даёт все ненулевые компоненты проекции $\mathbf{P}\mathbf{y}$.

Отметим, что при желании мы могли бы вычислить значения «сжатой» кусочно-полиномиальной функции $\sum_j (-1)^j c_j p_m^{(j)}(t)/j!$ не только в целых или полуцелых точках t , но и в произвольных вещественных точках t , желательных принадлежащих отрезку $[-m/2, m/2]$ (иначе получится ноль). В каком-то смысле образ $\mathbf{P}\mathbf{y}$ — это именно эта кусочно-полиномиальная функция, а не только её значения на дискретном множестве точек $-m/2, -m/2 + 1, \dots, m/2$.

5.4.3. (Свойства транспонированного проектора \mathbf{P}^T .) Транспонированный проектор

$$\mathbf{P}^T = \sum_{j=0}^m \mathbf{u}_j \mathbf{v}_j^T \quad (5.4.3.1)$$

напротив, распространяет вектора \mathbf{y} , у которых известны только координаты \mathbf{y}_s с $|s| \leq m/2$ (остальные координаты несущественны, поскольку не влияют на $\mathbf{v}_j^T \mathbf{y}$) на всё множество индексов s , причём так, что $\mathbf{P}^T \mathbf{y}$ совпадают с \mathbf{y} в «старых» индексах $|s| \leq m/2$. Иначе говоря, \mathbf{P}^T осуществляет нечто вроде полиномиальной экстраполяции функции, изначально заданной только в целых или полуцелых точках $-m/2, -m/2 + 1, \dots, m/2$, на более широкое множество аргументов: подбирается некоторый многочлен — линейная комбинация многочленов $L_j(m, X)$ при $0 \leq j \leq m - 1$, принимающий данные значения y_s в исходных точках, а затем этот многочлен вычисляется во всех нужных s . Это описание совсем верно, если существует многочлен $P(X)$ степени не больше $m - 1$, принимающий заданные значения $P(s) = \mathbf{y}_s$ при $s = -m/2, \dots, m/2$. В противном случае следует учесть тот факт, что компоненты $(\mathbf{u}_m)_s$ — это не совсем значения многочлена, и экстраполяция осуществляется с помощью суммы некоторого многочлена степени не больше $m - 1$ и некоторого

кратного функции $s \mapsto \operatorname{sgn}(s)L_{m-1}(m, s)$. Интересно, что получающаяся полиномиальная или кусочно-полиномиальная функция также может быть вычислена в произвольных вещественных точках s , и потому можно считать, что $\mathbf{P}^T \mathbf{y}$ — это на самом деле эта кусочно-полиномиальная функция, а не вектор её значений в точках $-M/2, -M/2 + 1, \dots, M/2$.

5.4.4. (Внутреннее представление векторов или функций, ассоциированное с \mathbf{P} . Проекция на векторное пространство, порождённое первыми несколькими многочленами Эрмита.) Отметим, что внутреннее представление векторов \mathbf{y} или функций, ассоциированное с проектором \mathbf{P} (например, лежащих в его образе) — это последовательность $\{c_j\}_{0 \leq j \leq m}$ коэффициентов их разложения по собственным векторам \mathbf{v}_j , т.е. $c_j = \mathbf{u}_j^T \mathbf{y}$; тогда $\mathbf{P}\mathbf{y} = \sum_j c_j \mathbf{v}_j$. Аналогичное утверждение верно и для \mathbf{P}^T , с заменой $\mathbf{v}_j \leftrightarrow \mathbf{u}_j$. Мы видели, что первые несколько собственных векторов или ковекторов — это по существу приближения к многочленам Эрмита $h_j^{[m/12]}(t)$, которые после перемасштабирования можно заменить просто на $h_j(t)$. Здесь лучше рассматривать только $0 \leq j \leq m - 1$; при $j = m$ эта закономерность несколько сбивается. Таким образом, \mathbf{P} или (скорее) \mathbf{P}^T по существу соответствуют ортогональной проекции всех функций из $L^2(\mathbb{R}, d\gamma)$ на конечномерное подпространство, порождённое первыми m многочленами Эрмита.

Список литературы

- [GHS] SVANTE JANSON, *Gaussian Hilbert spaces*, Cambridge Tracts in Mathematics **129**, Cambridge University Press, 1997.
- [DS] ALEXANDER S. KECHRIS, *Classical descriptive set theory*, Graduate Texts in Mathematics **156**, Springer-Verlag, 1995.
- [TG] NICOLAS BOURBAKI, *Topologie Générale*, Hermann, Paris, 1971 (chap. 1–4), 1974 (chap. 5–10).
- [OP] GABOR SZEGÖ, *Orthogonal polynomials*, AMS, 1978.
- [TT] PETER JOHNSTONE, *On a topological topos*, Proc. London Math. Soc. (3) **38** (1979) pp. 237–271.

- [CH1] TH. COQUAND, G. HUET, *Constructions: A higher order proof system for mechanizing mathematics*. In EUROCAL'85, volume **203**, Linz, 1985. Springer-Verlag.
- [CH2] TH. COQUAND, G. HUET, *The Calculus of Constructions*, Information and Computation, **76** (2/3), 1988.
- [CP] TH. COQUAND, C. PAULIN-MOHRING. *Inductively defined types*, in P. Martin-Löf and G. Mints, editors, Proceedings of Colog'88, **417**. Springer-Verlag, 1990.
- [SP] THIERRY DE LA RUE, *Espaces de Lebesgue*, Séminaire de Probabilités XXVII, Lecture Notes in Mathematics **1557**, Springer, 1993, pp. 15–21.
- [DF] BRUNO DE FINETTI, *La prévision: ses lois logiques, ses sources subjectives*, Annales de l'institut Henri Poincaré, **7** (1937) no. 1, pp. 1–68.
- [AB1] ДУРОВ Н.В., *Обзор подходов построения абсолютной геометрии*, Препринт ПОМИ 8 (2022).
- [AB3] ДУРОВ Н.В., *Индуктивные и коиндуктивные конструкции в математике*, Препринт ПОМИ 9 (2022).
- [AB4] ДУРОВ Н.В., *Примеры эффективных систем счисления*, Препринт ПОМИ 10 (2022).
- [AB5] ДУРОВ Н.В., *Вероятностные свойства избыточных систем счисления*, Препринт ПОМИ 11 (2022).
- [AB6] ДУРОВ Н.В., *Регулярные пространства и регулярные отображения*, Препринт ПОМИ 12 (2022).